

П-168

АЗӘРБАЙЧАН ССР ЭЛМЛӘР АКАДЕМИЯСЫ
АКАДЕМИЯ НАУК АЗЕРБАЙДЖАНСКОЙ ССР

МӘ'РУЗӘЛӘР
ДОКЛАДЫ

ТОМ V

№ 10

1949

АЗӘРБАЙЧАН ССР ЭЛМЛӘР АКАДЕМИЯСЫНЫН НӘШРИЙЯТЫ
ИЗДАТЕЛЬСТВО АКАДЕМИИ НАУК АЗЕРБАЙДЖАНСКОЙ ССР
БАКЫ—БАКУ

АЭРБАЙЧАН ССР ЭЛМЛЭР АКАДЕМИЯСЫ
АКАДЕМИЯ НАУК АЗЕРБАЙДЖАНСКОЙ ССР

П-168
Академия Наук
Азербайджанской ССР
Доклады. Том V.

4. Чр.

и, своим постановлением правительству об организа-
ции Академии Наук ССР выносит еще один п-
арастру. Сталинские слова, обращенные к ки-
1925 года в телеграмме на адрес II област-
зывающие "поднять национальную культу-
дарнейшее" развитие.

Организацию Киргизского филиала А-
сматривать как блестящий показатель си-
зец величия морального духа советского
назма. П-168

Огромно значение этого факта для
счастливой истории которого отмечена
смость. Находясь под двойным гнетом
бай-маджидов, — киргизский народ до В-
стической революции оставался нег-
ативный режим не позволял разверни-
там, препятствовал созиданию науки
воли и слез", как называли это вре-
лиши фенависть и гнев да мерцала
святое будущее.

Об этом времени великий а-
Сатылганов пел:

У тебя, мой бедни
Плечи согнуты, с
Только Октябрьская револ-
векового угнетения, принесла
, только она открыла широк

МЭРУЗЭЛЭР ДОКЛАДЫ

ТОМ V

№ 10

1949

АЭРБАЙЧАН ССР ЭЛМЛЭР АКАДЕМИЯСЫНЫН НЭШРИЙЯТИ
ИЗДАТЕЛЬСТВО АКАДЕМИИ НАУК АЗЕРБАЙДЖАНСКОЙ ССР
БАКУ—БАКУ

ТЕХНОЛОГИЯ НЕФТИ

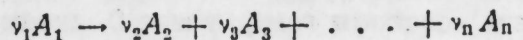
М. Ф. НАГИЕВ

КИНЕТИКА ГОМОГЕННЫХ ХИМИЧЕСКИХ РЕАКЦИЙ,
ПРОТЕКАЮЩИХ С ИЗМЕНЕНИЕМ ОБ'ЕМА В АППАРАТЕ
ИДЕАЛЬНОГО СМЕШЕНИЯ

(Представлено действ. членом АН Азербайджанской ССР
Ю. Г. Мамедалиевым)

Исследование кинетики реакции, протекающей с изменением об'ёма в аппарате идеального смешения при непрерывном поступлении и отводе продуктов реакции, представляет большой интерес. Особенно это важно для проведения газовых гомогенных и гетерогенных реакций. Разработанная нами в настоящей работе кинетика процесса должна явиться основой для расчета многих наиболее распространенных в промышленности химических реакций. К этим процессам относятся также такие весьма распространенные в больших масштабах процессы, как каталитический крекинг с пылевидным катализатором и др.

Рассмотрим газовую реакцию следующего общего вида:



где v_1, v_2, \dots, v_n —стехиометрические коэффициенты соответствующих веществ. Стехиометрический коэффициент убывающего вещества имеет знак (-), а образующихся (+).

Согласно стехиометрическим коэффициентам реакции и кинетики реакции первого порядка скорость выхода продуктов из реактора в зависимости от глубины превращения будет:

$$W_2 = W_1 \left(1 + \frac{\kappa \sum_{i=1}^{i=n} v_i}{a} \cdot M \right)$$

где W_1 и W_2 —скорости подачи и отвода продуктов из реактора ($\text{м}^3/\text{сек}$);

a —количество реагирующего вещества, поступающего в реактор в единицу времени (моль/сек);

M —количества исходного вещества в реакторе в молях.

Обозначив время проведения процесса через Δt и полезный об'ём реактора через V , получим следующее выражение для скорости

Читальный зал

п 4150 п 5861

Библиотека Киргизского
Филиала А.Н. СССР

изменения исходного вещества в реакторе

$$\frac{dM}{dt} + \frac{kW_1}{Va} \sum_{i=1}^{l=n} v_i \cdot M^2 + \left(K + \frac{W_1}{V} \right) M - a = 0$$

обозначим

$$\frac{kW_1}{Va} \sum_{i=1}^{l=n} v_i = A; \left(K + \frac{W_1}{V} \right) = B \text{ и } -a = D$$

Подставив эти обозначения, получим:

$$\frac{dM}{dt} + AM^2 + BM + D = 0 \quad (1)$$

Если $k, W, V, a, v_1, v_2, \dots, v_n$ являются величинами постоянными, то коэффициенты выражения 1 также постоянны, в силу чего, произведя разделение переменных, будем иметь:

$$\frac{dM}{AM^2 + BM + D} = -d\tau$$

Имея ввиду, что $B^2 > 4AD$, после интегрирования получаем

$$\frac{1}{\sqrt{B^2 - 4AD}} \cdot \ln \frac{2AM + B - \sqrt{B^2 - 4AD}}{2AM + B + \sqrt{B^2 - 4AD}} = -\tau + R_1$$

где R_1 — константа интегрирования.

Отсюда

$$\frac{2AM + B - \sqrt{B^2 - 4AD}}{2AM + B + \sqrt{B^2 - 4AD}} = e^{-\tau \sqrt{B^2 - 4AD}} \cdot e^{R_1 \sqrt{B^2 - 4AD}} \quad (2)$$

Обозначим

$$\sqrt{B^2 - 4AD} = L; e^{-\tau L} = N \text{ и } e^{R_1 L} = R$$

Подставляя эти константы в выражение 2, имеем:

$$\frac{2AM + B - L}{2AM + B + L} = NR \quad (3)$$

Определим R из условия, что при $\tau = 0, M = M_0$ и $N = 1$

$$R = \frac{2AM_0 + B - L}{2AM_0 + B + L}$$

Зная, что $\frac{M_0}{V} = C_0$, получим

$$R = \frac{C_0 + \frac{B}{2AV} - \frac{L}{2AV}}{C_0 + \frac{B}{2AV} + \frac{L}{2AV}}$$

Определим M из выражения 3

$$M = \frac{(B + L)RN - (B - L)}{2A(1 - RN)}$$

или, переходя к концентрациям и преобразуя, получим:

$$C' = \frac{L}{AV} \cdot \frac{1}{1 - RN} - \frac{B + L}{2AV}$$

Подставляя значение введенных обозначений, имеем

$$C' = \frac{\sqrt{B^2 - 4AD}}{AV} \cdot \frac{1}{1 - RN} - \frac{B^2 + \sqrt{B^2 - 4AD}}{2AV}$$

или

$$C' = \frac{1}{V} \left[\sqrt{\left(\frac{B}{A}\right)^2 + 4 \frac{a}{A}} \cdot \frac{1}{1 - RN} - \frac{1}{2} \left(\frac{B}{A} + \sqrt{\left(\frac{B}{A}\right)^2 + 4 \frac{a}{A}} \right) \right] \quad (4)$$

где D заменен на $(-a)$.

Полученное уравнение 4 для концентрации C' справедливо для всех случаев, за исключением случая, где $W_1 = W_2$, при котором в дифференциальном уравнении 1 отпадает член, содержащий M^2 .

Для определения концентрации C' при установившемся состоянии возьмем предел при условии, что $\tau \rightarrow \infty$, и получим:

$$C'_{\text{уст}} = \frac{1}{2V} \left[\sqrt{\left(\frac{B}{A}\right)^2 + 4 \frac{a}{A}} - \frac{B}{A} \right] \quad (5)$$

Принимая начальную концентрацию продуктов, образующихся в результате реакции, равной нулю, можно составить следующее уравнение:

$$C' + C'' = C$$

где C' — концентрация реагирующего вещества в реакторе;

C'' — концентрация вещества, получаемого в результате реакции;

C — концентрация исходного реагента в случае, если с ним не протекает химическая реакция в реакторе.

Теперь, когда значение C' нам известно, для определения C'' необходимо найти C . Поскольку C относится к условию, когда не протекает химическая реакция, а следовательно $W_1 = W_2$, то определение C'' производим по формуле 1, опуская член, содержащий M^2 , и принимая $K = 0$

$$C = \frac{R'N_1 - D}{B'V}$$

где $B' = \frac{W}{V}$; $R' = B'M_0 + D$ и $N_1 = e^{-B'}$.

Определим C' из выражения $C'' = C - C'$ путем подстановки в него значения C и C'

$$C'' = \frac{R'N_1 - D}{B'V} - \frac{1}{V} \left[\sqrt{\left(\frac{B}{A}\right)^2 + 4 \frac{a}{A}} \cdot \frac{1}{1 - RN} - \frac{1}{2} \left(\frac{B}{A} + \sqrt{\left(\frac{B}{A}\right)^2 + 4 \frac{a}{A}} \right) \right] \quad (6)$$

где $a = -D$.

По выражению 6 можно определить концентрацию вещества при установившемся состоянии; для этого поступаем так же, как и при определении установившейся концентрации C' , и получаем:

$$C''_{\text{уст}} = \frac{a}{B'V} - \frac{1}{2V} \left[\sqrt{\left(\frac{B}{A} \right)^2 + 4 \frac{a}{A}} - \frac{B}{A} \right] \quad (7)$$

При установившемся состоянии, когда N_1 и N равны нулю, исключаются члены, в которые они входят, и этим облегчается задача получения основных формул 6 и 7 настоящего исследования; в случае необходимости нахождения концентраций C' и C'' продуктов до установившегося состояния необходимо пользоваться формулами 5 и 6, подставив в первую значения R и N , а во вторую R , N и RN_1 .

Мы рассмотрели реакцию, протекающую по мономолекулярной кинетике. Однако, придерживаясь примененного нами подхода к составлению дифференциального выражения, можно произвести аналогичные расчеты для реакций, протекающих по любому кинетическому закону. Аналогичные расчеты могут быть сделаны также для реакции, протекающей в жидкой фазе с изменением об'ема. В этом случае необходимо предварительно установить изменение удельного об'ема реагентов как функцию степени превращения исходного сырья.

Институт нефти АН Азербайджанской ССР Поступило 6.IX.1949

М. Ф. Нагиев

Идеал гарыштырма аппаратында һәчмин дәйишилмәсилә кедән һемокен кимйәви реакцияларын кинетикасы

ХУЛАСӘ

Бу мәгаләдә идеал гарыштырма аппаратында реакентләрин һәчминин дәйишилмәсилә кедән реакцияларын кинетикасы тәдгиг әдилер. Бу кинетика, сәнаедә соңынан кимйәви реакцияларынесабламаг үчүн әсас олмалысыр. Бу просесләр сырасына, тоз һалында катализатор ишләдилән каталитик крекинг вә с. аиддир.

Бу ишин өзү мономолекуляр реакциялар кинетикасына әсасланыштыр. Лакин мүэллифин тәтбиг этдий үсүлла, һәр һансы кинетик ганун әсасында кедән реакциялара аид мәсәләләрни һәлл этмәк олар.

Мүэллиф илк көтүрүлән маддәләрин, реакторун һәчминидән асылы оларыг, дәйишилмәсі дәрәчәсини мүәйїәттән этмәк үчүн белә бир формула чыхармыштыр:

$$C'' = \frac{a}{B'V} - \frac{1}{2V} \left[\sqrt{\left(\frac{B}{A} \right)^2 + 4 \frac{a}{A}} - \frac{B}{A} \right]$$

Бурада:

C'' —чөврилмә дәрәчәси,
 V —реакторун һәчминидир.

Галан башга параметрләрин һамысы сабит кәмиййәтләрин вә процесин мәһсүлдарлығынын функцияларыдыр.

НЕФТЕПРОМЫСЛОВОЕ ДЕЛО

М. П. ГУЛИЗАДЕ и И. П. КУЛИЕВ

ВЛИЯНИЕ МОМЕНТА ОТ ДЕЙСТВИЯ ОСЕВОЙ НАГРУЗКИ НА ИЗМЕНЕНИЕ АЗИМУТА ИСКРИВЛЕНИЯ ТУРБИННО-НАКЛОННЫХ СКВАЖИН

(Представлено действ. членом АН Азербайджанской ССР
Г. Н. Газиевым)

При турбинно-наклонном бурении для искривления скважины в заданном направлении применяется специальная компоновка низа бурильного инструмента. Такая компоновка заключается в том, что непосредственно над турбобуром устанавливается кривая труба или кривой переводник. В качестве отклоняющего приспособления применяется также эксцентричный ниппель.

В настоящее время указанные отклонители широко применяются. Причем, когда угол искривления невелик, в основном применяется кривая труба.

Установкой кривой трубы непосредственно над турбобуром достигается пересечение осей бурильной колонны и турбобура. Такое пересечение осей бурильной колонны и турбобура необходимо для создания момента от действия осевой нагрузки и момента, упругих сил. Благодаря действию этих моментов возникает отклоняющая сила, которая прижимает долото к выпуклой стенке скважины. Прижатое к стенке скважины долото, врачаясь, фрезерует стенку и, таким образом, происходит отклонение ствола в нужном направлении.

Совместное или раздельное действие моментов осевой нагрузки и упругих сил, помимо отклоняющей силы, вызывает еще ряд дополнительных усилий, уводящих инструмент от заданного направления. Характер изменения этих усилий, их качественная и количественная оценка в теоретическом отношении еще не изучены.

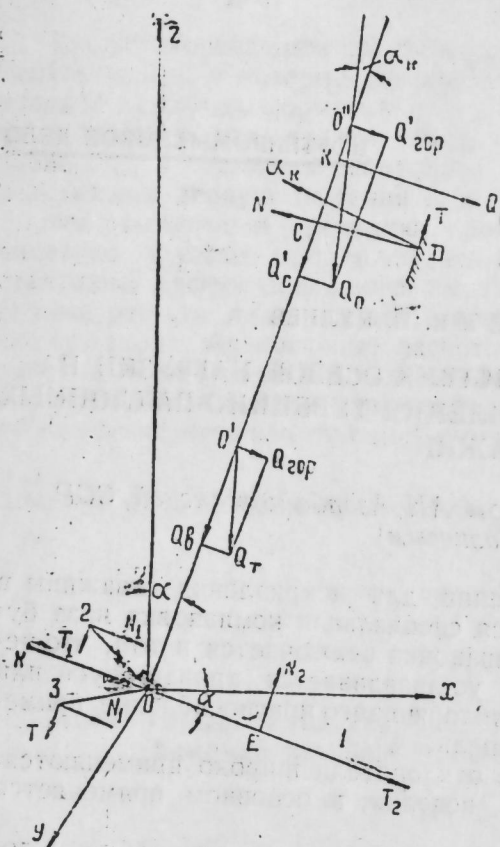
Для выяснения характера действия усилий, уводящих долото от заданного направления, рассмотрим режим бурения наклонной скважины шарошечным долотом. При работе с кривой трубой на долото действует отклоняющее усилие, обусловливаемое моментом от действия осевой нагрузки. Для упрощения поставленной задачи моментом упругих сил пренебрегаем.

В скважину спущен турбобур на кривой трубе, вся система находится под действием осевой нагрузки Q_o и веса турбобура Q_t .

Примем следующие условия:

- а) кривая труба является абсолютно жесткой;
- б) турбобур опирается на вогнутую стенку скважины у верхнего переводника.

Разложим силы Q_0 и Q_t на свои составляющие, как показано на чертеже (фиг. 1).



Фиг. 1

В зависимости от положения точки приложения равнодействующей от начала координат (см. фиг. 1) возможны три случая:

- I. $L_p > OC$ — когда точка приложения равнодействующей выше точки опоры D .
- II. $L_p = OC$ — когда точка приложения равнодействующей совпадает с точкой опоры D .
- III. $L_p < OC$ — когда точка приложения равнодействующей ниже точки опоры D .

Нетрудно заметить, что в отношении изменения азимута искривления скважины наибольший интерес представляют I и III случаи, так как во II случае равнодействующая уравновешивается реакцией стенки.

Разберем I и III случаи.

В первом случае ($L_p > OC$) сила Q_p создает момент, который стремится повернуть систему вокруг точки D по часовой стрелке. При этом, естественно, долото прижимается к выпуклой стенке скважины и таким образом происходит возрастание кривизны.

Установим возможности изменения азимута искривления ствола скважины, если равнодействующая сила создает момент, прижимающий долото к выпуклой стенке скважины.

Для этого рассмотрим положение долота, когда одна из образующих его шарошек совпадает с плоскостью XOZ и на систему действует отклоняющая сила Q_p .

Под действием момента, создаваемого силой Q_p , шарошка 1 прижимается к забою; в этот момент шарошки 2 и 3, отталкиваясь от забоя, с некоторой силой прижимаются к выпуклой стенке скважины. В поверхностях соприкосновения шарошек с забоем и стенками скважины появляются силы реакций и трения, причем, ввиду симметричного расположения шарошек 2 и 3, силы реакций стенок, а также силы трения соответственно равны по величине и направлены в одну и ту же сторону. Схема действия всех активных и реактивных сил показана на чертеже.

Полагая, что долото вращается равномерно, силы реакции определяются из условий равновесия.

Влиянием инерционных усилий, могущих возникнуть вследствие колебательного движения низа бурильной колонны, пренебрегаем. Так как силы, действующие на шарошки 2 и 3, равны и расположены симметрично относительно оси турбобура и образующей шарошки 1, то имеем плоскую систему.

Приравнивая к нулю сумму проекций действующих сил на ось турбобура и на направление образующей шарошки 1, а также сумму моментов относительно точки D , имеем:

$$T + N_2 - 2T_1 = 0$$

$$Q_p + 2N_1 + T_2 - N = 0$$

$$\Sigma M_D = Q_p(L_p - OC) - N_2(r_{ck} - r_t) - 2T_1(OK + r_t) - 2N_1 \cdot OC = 0 \quad (3)$$

где r_{ck} — радиус скважины;

r_t — радиус турбобура.

Здесь

$$T = fN; \quad T_1 = fN_1; \quad T_2 = fN_2$$

Подставив эти значения в уравнение равновесия и совместно решив их относительно N_2 , получим:

$$N_2 = Q_p \frac{f}{1-f^2} \quad (4)$$

Для определения N_1 полученное значение N_2 подставим в уравнение моментов, тогда:

$$Q_p(L_p - OC) - Q_p \frac{f(r_{ck} - r_t)}{1-f^2} - 2fN_1(0,87r_{ck} + r_t) - 2N_1OC = 0$$

Полагая $OC = l$, получим:

$$N_1 = \frac{Q_p}{2} \frac{(L_p - l)(1-f^2) - f(r_{ck} - r_t)}{f(0,87r_{ck} + r_t) + l} \cdot \frac{1}{1-f^2} \quad (5)$$

Вводя обозначения:

$$C_1 = \frac{f}{1-f^2}; \quad (6)$$

$$C_2 = \frac{1}{2} \frac{(L_p - l)(1-f^2) - f(r_{ck} - r_t)}{f(0,87r_{ck} + r_t) + l} \cdot \frac{1}{1-f^2} \quad (7)$$

где f — коэффициент трения, получим:

$$N_1 = C_2 \cdot Q_p \quad (8)$$

$$N_2 = C_1 \cdot Q_p \quad (9)$$

Теперь необходимо установить какие изменения азимута искривления ствола скважины могут вызвать силы N_1 и N_2 .

При одновременном действии сил N_1 и N_2 возможны три случая:

1. $N_2 > 2N_1$
2. $N_2 < 2N_1$
3. $N_2 = 2N_1$

В отношении изменения азимута искривления ствола скважины наибольший интерес представляют первые два случая. Так как в третьем случае все реактивные силы, вызванные действием отклоняющего усилия, уравновешиваются, положение долота становитсяустойчивым.

Совершенно другая картина имеет место, когда

$$N_2 > 2N_1; \quad N_2 < 2N_1.$$

В первом случае, при прочих равных условиях, шарошка, прижатая к забою силой N_1 , будет оказывать большее сопротивление перекатыванию, чем шарошки, прижатые к выпуклой стенке скважины силой $2N_1$. Следовательно, для преодоления этого дополнительного сопротивления к оси шарошки необходимо приложить окружное усилие. Действующее на шарошку, это дополнительное окружное усилие приводит, как известно, к паре сил и силе, приложенной к оси долота. Под действием этой силы долото отклонится вправо от плоскости искривления скважины. При неравенстве $N_2 > 2N_1$ ствол скважины отклонится вправо от плоскости искривления скважины (если смотреть с положительного направления оси X).

Во втором случае имеет место противоположная картина. При существовании неравенства $N_2 < 2N_1$ ствол скважины отклонится влево от плоскости искривления скважины.

Таким образом, можно притти к заключению, что при условии $L_p > OC$, в зависимости от значения сил N_2 и $2N_1$ возможны случаи отклонения ствола скважины как влево, так и вправо.

Для количественной оценки значений N_1 и N_2 приведем пример

$$L_p = 8 \text{ м}; \quad l = 4 \text{ м}; \quad f = 0,113; \quad r_{ck} = 0,15 \text{ м}; \quad r_t = 0,125 \text{ м}$$

Подставляя эти значения в формулы 6 и 7, определим C_1 и C_2 .

$$C_1 = 0,114; \quad C_2 = 0,5$$

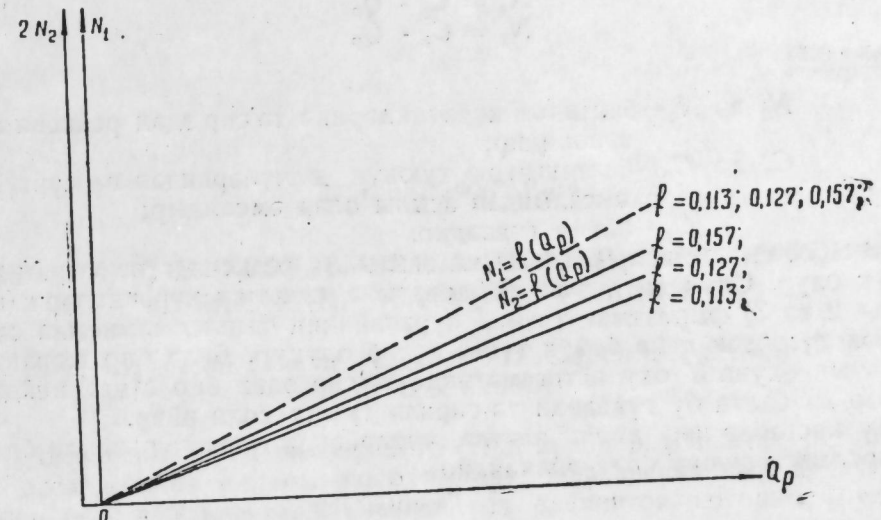
Так как $C_2 > C_1$, то $N_1 > N_2$. Это указывает на то, что при действии момента силы Q_p , усилия, необходимые для перекатывания шарошек 2 и 3, будут больше усилия, необходимого для перекатывания шарошки 1. Следовательно, при $C_2 > C_1$ сила, уводящая долото, будет направлена влево по простираннию, если смотреть на купол складки.

Для наглядности нами построены прямые, соответствующие уравнениям 8 и 9. При этом коэффициенты C_1 и C_2 определены для значения $f = 0,113; 0,127$ и $0,157$ (фиг. 2).

Во втором случае ($L_p = OC$) линия действия равнодействующей параллельных сил проходит через точку опоры. Вследствие этого отклоняющая сила равна нулю и работа долота происходит как в обыч-

ной вертикальной скважине. Поэтому отклонения долота наблюдаться не будут. В равной мере и не будет происходить возрастание кривизны скважины.

В третьем случае ($L_p < OC$) линия действия равнодействующей проходит ниже точки опоры. Следовательно, долото будет прижиматься к вогнутой стенке скважины и будет возникать сила, уводящая долото вправо от плоскости ее искривления.



Фиг. 2

Анализируя изложенное, можно притти к выводу, что при работе с турбобуром на кривой трубе, в зависимости от направления линии действия равнодействующей Q_p , возможны изменения азимута искривления ствола скважины как вправо, так и влево от плоскости искривления скважины, если смотреть с положительного направления оси X . Так как при работе с отклоняющим инструментом всегда имеет место неравенство $L_p > OC$, то изменение азимута искривления должно происходить влево от плоскости искривления скважины.

Поэтому, при работе с отклонителем (и трехшарошечным долотом) для компенсации ухода ствола влево плоскость кривой трубы необходимо установить с опережением на некоторый угол. Величина этого угла опережения, в зависимости от геологических и технологических условий бурения, должна быть практически определена для каждого участка в отдельности.

Институт нефти АН Азербайджанской ССР

Поступило 4.Х.1949

М. П. Гулузадэ вэ И. П. Гулиев

Майл турбин газымасында боруларын оху истигамэтинде тэ'сир эдэн гүввәни моментинин гую азимутунун дәйишмәсинә тэ'сири

ХУЛАСЭ

Майл турбин газымасында гуюнду истәнилән истигамэтдә эймәк үчүн хүсуси эйри бору ишләдилүр. Эйри боруну билавасытә турбинлә газыма чиңазына бирләшдирмәклә боруларын оху истигамэтинде тэ'сир эдэн гүввәни вэ эластиклик гүввәләринин моменти ярадылыр. Бу

моментин тэ'сирилэ бору истәнилән истигамәтдэ гуюнун диварына сыхылыр вэ беләликлә гую эйилмәйэ башлайыр.

Гуюнун диварына сыхылмыш балтанын күрәчикләрине сүртүнмә вэ реаксия гуввәләри тэ'сир эдир. Һәмчинин гуюнун дивине сыхылан күрәчийә дә сүртүнмә вэ реаксия гуввәләри тэ'сир эдир.

Күрәчикләре тэ'сир эдән реаксия гуввәләри ашағыдақы формула илә несабланыр:

$$N_1 = C_2 \cdot Q_p$$
$$N_2 = C_1 \cdot Q_p$$

Бурада:

N_1 вэ N_2 —балтанын күрәчикләрине тэ'сир эдән реаксия гуввәләриди;

C_1 вэ C_2 —балтанын вэ гуюнун өлчүләриндән вэ сүртүнмә әмсалыдан асылы олан әмсалдыр;

Q_p —эйичи гуввәдир.

Несаблама көстәрир ки, газыма вахты N_1 реаксия гуввәси N_2 -дән бейүк олур. Одур ки, гуюнун диварына сыхылан күрәчикләри (шәкилдә 2 вэ 3) фырлатмаг учун, 1 күрәчийиниң фырладылмасына сәрф әдилән гуввәдән даһа бейүк гуввә тәләб олунур. Белә бир шәрантдә балтанын охуна У оху истигамәтнә тэ'сир эдән бир гуввә мейдана чыхыр вэ балта бу гуввәнни тэ'сирилэ гуюну сола эйир.

Бу көстәрир ки, эйичи аләтлә ишләйэндә гуюя күрәчикли балта эндирилмәси гуюну сола эйәчәкдир.

Д. И. ЗУЛЬФУГАРЛЫ

К ИЗУЧЕНИЮ МИКРОЭЛЕМЕНТОВ НЕФТЕЙ МЕСТОРОЖДЕНИЙ
БАЛАХАНЫ, САБУНЧИ, РАМАНЫ

(Представлено действ. членом АН Азербайджанской ССР
М. А. Кашикай)

В опубликованной нами работе (1) о предварительных результатах исследования минерального состава балаханских нефтей мы ограничились, в основном, изучением тех элементов, которые, будучи в породах в весьма рассеянном состоянии, заметно концентрируются в нефти.

Изучение подобных характерных элементов золы нефти может способствовать выяснению путей, по которым эти элементы внесены в нефть; установление же их должно играть важную роль в выяснении вопросов происхождения нефти, ибо, как указывает А. П. Виноградов (2), всестороннему освещению всего комплекса нефтеобразования многое поможет изучение ряда частных вопросов, на первый взгляд кажущихся совершенно отдаленными от этой задачи.

Такого рода вопросом и является изучение микроэлементов нефти, содержащихся в ней помимо ее главных компонентов, так как „первичная зора может дать в руки геохимика ключ, открывающий многие интересные стороны начального генезиса нефти и ее последующей истории“ (3).

Дальнейшие исследования показали, что для всестороннего геохимического изучения вопроса представляют интерес и так называемые обычные элементы, не относимые к внутренней золе нефти. Поэтому мы вынуждены были еще раз вернуться к изучению золы балаханской нефти, результаты которого приводятся в данной статье¹. Здесь же приводятся результаты исследования качественного состава золы нефтей месторождений Сабунчи и Раманы² (трест Лениннефть). Принципы выбора горизонтов для отбора проб нефти и методика работы остаются аналогичными условиям изучения сурханских нефтей (4)³.

Указанные месторождения дают возможность проследить основные закономерности в распределении микроэлементов нефти как по

¹ В данной работе приняла участие А. А. Садыхова.

² Количественный состав золы нефтей будет опубликован самостоятельно.

³ Температура окисления нефти в упомянутой работе ошибочно указана 750°, вместо 650°.

Таблица 1

Минеральный состав нефти месторождения Балханы

№	Свита	Горизонт	№	Найденные элементы																															
				Скважины	Al	Cr	Fe	Co	Ni	As	Pb	V	As	Cr	—	Mn	Fe	Co	Ni																
91	Апперонский ярус	Апперонский ярус I	290	Na — Cu Ag — Mg Ca Sr Ba Zn	—	—	—	—	—	—	—	—	—	—	—	—	—	—	—	—	—	—	—	—	—	—	—	—	—	—	—	—	—		
1	Сабунчинская	IV	23055	Na K Cu Ag — Mg Ca Sr Ba Zn	—	—	—	—	—	—	—	—	—	—	—	—	—	—	—	—	—	—	—	—	—	—	—	—	—	—	—	—	—		
6	"	IVa	22101	— K Cu — Mg Ca Sr Ba Zn Cd Al	—	—	—	—	—	—	—	—	—	—	—	—	—	—	—	—	—	—	—	—	—	—	—	—	—	—	—	—	—		
73	Балханская	V	22046	— Cu — Mg Ca Sr Ba Zn Cd Al	—	—	—	—	—	—	—	—	—	—	—	—	—	—	—	—	—	—	—	—	—	—	—	—	—	—	—	—	—		
3	"	VI	22047	Na — Cu Ag — Mg Ca Sr Ba Zn Cd Al Ga	—	—	—	—	—	—	—	—	—	—	—	—	—	—	—	—	—	—	—	—	—	—	—	—	—	—	—	—	—		
70	Налкирмакинская песчаная	НКП	26122	Na K Cu Ag Be Mg Ca Sr Ba Zn Cd Al	—	—	—	—	—	—	—	—	—	—	—	—	—	—	—	—	—	—	—	—	—	—	—	—	—	—	—	—	—	—	
71	"	НКП	26123	Na — Cu Ag — Mg Ca Sr Ba Zn Cd Al	—	—	—	—	—	—	—	—	—	—	—	—	—	—	—	—	—	—	—	—	—	—	—	—	—	—	—	—	—	—	
114	Кирмакинская	1КС ₁	954	Na K Cu Ag — Mg Ca Sr Ba Zn Cd Al	—	—	—	—	—	—	—	—	—	—	—	—	—	—	—	—	—	—	—	—	—	—	—	—	—	—	—	—	—	—	
7	Подкирмакинская	ПК ₁	26120	Na K Cu Ag — Mg Ca Sr Ba Zn Cd Al Ga	—	—	—	—	—	—	—	—	—	—	—	—	—	—	—	—	—	—	—	—	—	—	—	—	—	—	—	—	—	—	
5	"	ПК ₁₊₂	546	Na — Cu Ag Be Mg Ca Sr Ba Zn — Al Ga	—	—	—	—	—	—	—	—	—	—	—	—	—	—	—	—	—	—	—	—	—	—	—	—	—	—	—	—	—	—	—

Таблица 2

Минеральный состав нефти месторождения Сабунчи

№	Свита	Горизонт	№	Найденные элементы																														
				Скважины	скважины	Al	Cr	Fe	Co	Ni	As	Pb	V	As	Cr	Mo	Mn	Fe	Co	Ni														
10	Сабунчинская	II	35063	Na K Cu Ag — Mg Ca Sr Ba Zn — Al Ga	—	—	—	—	—	—	—	—	—	—	—	—	—	—	—	—	—	—	—	—	—	—	—	—	—	—	—	—		
63	"	IV	25011	Na — Cu Ag Be Mg Ca Sr Ba Zn Cd Al	—	—	—	—	—	—	—	—	—	—	—	—	—	—	—	—	—	—	—	—	—	—	—	—	—	—	—	—		
85	Балханская	V	35057	Na K Cu Ag Be Mg Ca Sr Ba Zn Cd Al	—	—	—	—	—	—	—	—	—	—	—	—	—	—	—	—	—	—	—	—	—	—	—	—	—	—	—	—		
89	Надкирмакинская песчаная	НКП ₁	1635	Na K Cu Ag Be Mg Ca Sr Ba Zn Cd Al	—	—	—	—	—	—	—	—	—	—	—	—	—	—	—	—	—	—	—	—	—	—	—	—	—	—	—	—	—	
108	Кирмакинская	1КС ₃	823	Na — Cu Ag Be Mg Ca Sr Ba Zn Cd Al	—	—	—	—	—	—	—	—	—	—	—	—	—	—	—	—	—	—	—	—	—	—	—	—	—	—	—	—	—	
14	Подкирмакинская	ПК	779	Na — Cu Ag Be Mg Ca Sr Ba Zn Cd Al	—	—	—	—	—	—	—	—	—	—	—	—	—	—	—	—	—	—	—	—	—	—	—	—	—	—	—	—	—	—

Таблица 3

Минеральный состав нефти месторождения Рамана

№ определения	Свита	Горизонт	№ скважины	Найденные элементы																				
				Al	Ga	Ti	Sn	Pb	V	As	Cr	Mo	— Mn	Fe	Co	Ni								
17	Сабулинская	II	1601	Na	K	Cu	Ag	Be	Mg	Ca	Sr	Ba	Zn	не идентиф.	не идентиф.	не идентиф.								
104		IV ₂	1220	Na	K	Cu	Ag	Be	Mg	Ca	Sr	Ba	Zn	Al — Ti	Sn	Pb	V							
20	Балаханская	V	419	Na	— Cu	— Mg	Ca	Sr	Ba	Zn	Al	— Ti	Sn	Al — Pb	V	— Cr	Mo	W	Mn	Fe	Co	Ni		
105	Кирмакинская	IIC ₂	1519	Na	K	Cu	— Mg	Ca	Sr	Ba	Zn	Cd	Al — Ti	Sn	Pb	V	— Cr	Mo	— Mn	Fe	Co	Ni		
48	Подкирмакинская	ПК	1515	Na	K	Cu	Ag	Be	Mg	C	Sr	Ba	Zn	Cd	Al — Ti	Sn	Pb	V	— Cr	Mo	— Mn	Fe	Co	N

разрезу, так и по простиранию выбранных нами горизонтов верхнего и нижнего отделов продуктивной толщи. Преимуществом этих месторождений является наличие в них четко прослеживающихся в разрезе горизонтов, расположенных в определенном направлении и находящихся в одинаковых геологических условиях. Нефтеносные горизонты этих месторождений хотя и приурочены к различным поднятиям, однако находятся на одной и той же основной складчатой линии (5). Благодаря этому очень удобно сопоставить изменение содержания микроэлементов в нефтях по определенному направлению. Сравнение же результатов исследования нефтей данных месторождений с нефтью месторождений, не находящихся на данной складчатой линии, позволит судить о качественном изменении состава нефтяной золы в связи с тектоническими условиями.

Таким образом, представится возможность судить не только о качественном и количественном составе золы нефтей, но и о степени влияния на них геологических и геохимических факторов.

Нами изучены физико-химические константы исследованных нефтей с целью выявления зависимости микроэлементов от качества нефтей. Не останавливаясь на данном вопросе, так как он будет освещен нами отдельно, можно отметить, что, как видно из таблиц 1, 2 и 3, качественный состав золы нефтей изученных месторождений почти аналогичен. В числе найденных зольных элементов нефти, помимо тех, которые считаются обычными компонентами осадочных пород, имеются и элементы, не обычные для последних. Поэтому, несомненно, такие элементы не могут отражать характерные особенности ареала своего залегания, как это допускает А. Ф. Добрянский (3). Приходится предположить внесение их в нефть в связи с ее биогенным происхождением, хотя вполне естественно, что "состав нефтяной золы не может характеризовать организм, давший начало нефти" (3).

Аналогичный состав нефтяной золы изученных нами месторождений и наличие определенных биогенных элементов в нефтях различных стран дает возможность заключить, что, повидимому, компоненты "собственной" или внутренней золы нефти химически связаны с ней и имеют первичный характер.

ЛИТЕРАТУРА

1. Зульфугарлы Д. И.—Доклады АН Азербайджанской ССР, III, 9, 393 (1947).
2. Виноградов А. П.—Обзорный сборник В. И. Вернадского I, 145 (1936).
3. Добрянский А. Ф.—Геохимия нефти, 356 (1948).
4. Зульфугарлы Д. И.—Доклады АН Азербайджанской ССР, V, 6, 205 (1949).
5. Мирчик М. Ф.—Нефтяные месторождения Азербайджана (1939).

Институт нефти АН Азербайджанской ССР

Поступило 7.IX.1949

Ч. И. Зулфугарлы

Балаханы, Сабунчу вә Рамана нефтләри микроэлементләrinин
өйрәнилмәсинә даир

ХУЛАСЭ

Сүхурларда аз яйылыб нефтдә исә мушаңидә эдиլәчек дәрәчәдә топламыш микроэлементләrin тәдгиги, нефт күлүнүн бу чүр характер элементләrinин һансы йолларла нефтә дүшдүйүнү мүәййән этмәй

имкан верәр вә бу мәсәләннің айдынлашдырылмасы да нефтиң әмәлә-
кәлмәсінин изаһында мүһум рол ойнағ биләр.

Мүәллифин нефт күлләрінің тәдгиг әтмәсі нәтичәсіндә бәлли ол-
мушудур ки, билаваситә дахили нефт күлүнә мәнсүб олмаян элемент-
ләрін өйрәнилмәсі дә мүһумдүр.

Мүәллиф Балаханы, Сабунчу вә Рамана нефтләринин физики-
кимійеви константларыны вә һәмни нефтләрдән алымыш күлләрін
тәркибини өйрәниши вә онларда, 1, 2 вә 3-чү чедвәлләрдә көстәриләй-
элементләр олдуғуны мүәййән әтмишdir.

Көстәрилән нефт күлләрінин тәркибчә охшайышына вә мұхтәлиф-
өлкәләрін нефтләріндә мүәййән груп биокен элементләр олмасына-
әсасән мүәллиф белә нәтиҗәйә кәлир ки, нефтиң дахили күлүнү-
тәшкіл әдән элементләрін нефтлә кимійеви сурәтдә әлагәдар олду-
ғуны вә онларын нефтә сонрадан дүшмәдийини күман әтмәк олар.

МЕХАНИКА

Г

А. Т. ГРИГОРЬЯН

О РАЗВИТИИ ВАРИАЦИОННЫХ ПРИНЦИПОВ МЕХАНИКИ

(Представлено действ. членом АН Азербайджанской ССР
И. Г. Есьманом)

В работе дается анализ вариационных принципов механики—преимущественно Эйлера-Лагранжа и Остроградского-Гамильтона, дополняются некоторые вопросы самостоятельными результатами, показывается роль русских ученых как основоположников развития принципов аналитической механики.

Русская механика, внесшая неоценимый вклад в развитие науки, слабо представлена в области историко-критических исследований, особенно, в области методологической трактовки принципов механики. В этой области мы, к сожалению, пользовались преимущественно зарубежным материалом. Ясно, что такое положение нетерпимо, когда вопрос марксистской трактовки основ науки и ее истории, с одной стороны, и обективная оценка роли русских ученых в развитии мировой науки, с другой стороны, являются в настоящее время важнейшими задачами советской науки.

Наша работа представляет скромную попытку решить эти вопросы в сравнительно узкой, но чрезвычайно важной области вариационных принципов механики.

Известно, что история развития вариационных принципов механики начинается с середины XVIII века. Французский энциклопедист Монпертон весной 1744 года сформулировал свой принцип наименьшего действия. Через полгода и, повидимому, независимо от него, принцип наименьшего действия был сформулирован выдающимся ученым, академиком Леонардом Эйлером из Петербургской академии в следующем виде: интеграл $\int v ds$ имеет наименьшее значение для действительной траектории, рассматривая последнюю в группе возможных траекторий, имеющих общее начальное и конечное положения и осуществляющихся с одним и тем же значением энергии.

В отличие от идеалистической трактовки Монпертона, у которого принцип наименьшего действия имел чисто теологическое обоснование и телеологический смысл, Эйлер дает этому принципу точное математическое выражение и строгое обоснование для одной материаль-

Библиотека Наукового
Филиала А.Н. СССР
п-4560
1951

ной точки, подчиненной действию центральных сил. В курсе „Аналитической механики“ Лагранж (1) пишет: „Принцип наименьшего действия я рассматриваю не как метафизический принцип, а как простой и общий результат законов механики“.

Если обозначить через ω значение интеграла $\int_{t_0}^t 2T dt$, то сущность принципа наименьшего действия (в смысле Лагранжа) можно высказать следующим образом.

В группе возможных движений, имеющих общие начальное и конечное положения и осуществляющихся с одним и тем же значением полной энергии, действительное движение отличается тем свойством, что для него функция ω имеет наименьшее значение.

Существенным в принципе Лагранжа является то, что сравниваемые движения осуществляются с одним и тем же значением полной энергии, но с различной длительностью во времени. Так как это последнее обстоятельство не было отчетливо понято и выражено Лагранжем, то оно и явилось источником многих недоразумений и противоречий, которые невозможно было устранить без правильной, достаточно строгой и общей формулировки самого принципа. Заслуга исчерпывающего и общего решения этой задачи по праву принадлежит замечательному русскому ученому М. В. Остроградскому (2).

Если принцип Лагранжа, являющийся, в сущности говоря, непосредственным развитием принципа Эйлера, вслепую нащупывает условия вариаций функции ω , то Остроградский впервые выявляет в отчетливой форме неизохронный характер принципа Эйлера-Лагранжа, с одной стороны, и одновременно формулирует новый вариационный принцип механики, который часто называют (вопреки фактам) принципом Гамильтона. Правда, Гамильтон также пришел (независимо от Остроградского) к аналогичным результатам, но он получил их на три года позже Остроградского и, кроме того, Гамильтон не заметил противоречия в лагранжевой редакции принципа наименьшего действия. Таким образом, в отличие от Остроградского, Гамильтон не разрешил, а обходил те противоречия, которые были связаны с пониманием принципа Лагранжа.

Поэтому вполне справедливо, что многие авторы (Слудский, Майер, Фосс и др.) этот принцип называют принципом Остроградского, а не Гамильтона, и во всяком случае его следовало бы называть принципом Остроградского-Гамильтона, а не наоборот.

На пути развития вариационных принципов следует отметить также принцип Гаусса. Сам Гаусс говорит, что его принцип не является новым, однако, являясь вполне эквивалентным принципу Даламбера и Остроградского, он дает возможность облегчить решение многих задач и установить новую точку зрения на уже известные законы механики.

Предполагая общие понятия и представления аналитической механики известными, перейдем к критическому разбору интегральных вариационных принципов для случая голономных связей.

При анализе принципов можно было начать с самой общей формы принципа действия, данного Гельдером, и из него получить особые формы принципа действия; однако, при этом осталось бы совершенно невыясненным генетическое развитие каждого принципа, их историческое значение. Поэтому мы для лучшего достижения цели, будем идти естественным ходом развития вариационных принципов.

Трудно назвать какой-нибудь другой принцип, который был бы

предметом стольких сомнений, недоразумений и ошибок, как упомянутый выше принцип наименьшего действия.

Русский ученый Остроградский был первый, кто усомнился в справедливости всей основы принципа наименьшего действия Лагранжа. И не только потому, что Лагранж не применил для вывода уравнений движения из принципа наименьшего действия свой же метод неопределенных множителей, но и потому, что Остроградский, применяя этот метод неопределенных множителей и основываясь на положениях Лагранжа (а у Лагранжа нигде нет упоминания о необходимости варьирования времени), пришел к ложным результатам. Взамен этого Остроградский дал свою формулу принципа действия.

Ряд работ русских ученых—Брашмана, Рахманинова, Слудского, Талызина, Сабинина и иностранных авторов—Родрига, Майера, Раута и др. показал неточность лагранжевой формулировки принципа наименьшего действия и, наоборот, строгое выражение принципа Остроградского.

Лагранж обуславливает возможные пути тем, что все они проходятся с одной и той же начальной энергией, т. е.

$$T = U + h \quad \delta T = \delta U \dots (1) \quad \text{и} \quad \delta h = 0.$$

Равенство 1 имеет место, если за независимую переменную взять одну из координат. Однако во всех выкладках Лагранж за независимую переменную берет время t , но при этом, если произвести подробные выкладки, равенство 1 не выполняется. В первом издании своей механики сам Лагранж видел эту неясность, но избежать ее не смог. Как отметили Остроградский, Талызин и Брашман, на равенство 1 необходимо смотреть как на уравнение, связывающее время t , т. е. при выводе уравнений движения из принципа Лагранжа необходимо предполагать одновременно

$$\delta h = 0 \quad \text{и} \quad \delta dt = 0.$$

Перейдем к рассмотрению принципа Остроградского-Гамильтона. Обозначая функцию действия буквой S , где

$$S = \int_{t_0}^t (T + U) dt,$$

принцип Остроградского можно сформулировать следующим образом: вариация действия равна нулю для действительного движения

$$\delta S = 0,$$

причем группа сравниваемых движений удовлетворяет следующим условиям:

1) время не варьируется

$$\delta t = 0, \quad \text{но} \quad \delta h \neq 0,$$

2) пути сравнения имеют общую начальную и конечную конфигурации; таким образом, вариации координат на пределах равны нулю.

Принцип Остроградского-Гамильтона, данный в общей форме, эквивалентен принципу Даламбера и из него можно получить уравнения движения любой механической системы с голономными связями.

Если $\delta h = 0$, то принцип Лагранжа получается как частный случай принципа Остроградского-Гамильтона.

Перейдем теперь к рассмотрению наиболее общего выражения принципа действия, данного Гельдером. Последний, обобщая принцип

действия, исходит из следующего соотношения для полной и изохронной вариации (время варьируется):

$$\Delta x = \delta x + \dot{x} \Delta t$$

и получает, что

$$\int_{t_0}^{t_1} \left(\Delta T + \Delta' A + 2T \frac{d\Delta t}{dt} - \frac{d'A}{dt} \Delta t + \frac{dT}{dt} \Delta t \right) dt = 0.$$

Этот принцип, выведенный на основе принципа Даламбера, не имеет никаких других ограничений, кроме того, что он должен быть справедлив для всех возможных перемещений.

По нашему мнению Гельдер делает это не совсем ясно. Полагая перемещения виртуальными, он считает, что левая часть формулы

$$\int_{t_0}^{t_1} \left(X_p - m_p \dot{x} \right) \Delta x_p dt = \int_{t_0}^{t_1} \left(\Delta T + \Delta' A + 2T \frac{d\Delta t}{dt} \right) dt \quad (2)$$

обращается в нуль, в силу принципа Даламбера. Это неверно, ибо в принципе Даламбера применяются не полные, а изохронные вариации координат. Надо выразить полные вариации, входящие в левую часть формулы 2, через изохронные, и лишь после этого можно применять принцип Даламбера. Теперь ясно, что принцип Остроградского-Гамильтона непосредственно следует из формулы 2 при

$$\Delta t = 0.$$

В обобщении принципа Остроградского-Гамильтона можно пойти дальше, вводя в рассмотрение кроме гельдеровской формы вариации фоссовскую форму:

$$\Delta_1 \dot{x} = \frac{d}{dt} \delta x - \dot{x} \frac{d}{dt} \Delta t, \quad (\text{по Фоссу})$$

$$\Delta_2 \dot{x} = \frac{d}{dt} \Delta x - \dot{x} \frac{d}{dt} \Delta t \quad (\text{по Гельдеру})$$

где \dot{x}' — скорость на варьированной траектории.

Если действительная и варьированные траектории имеют близость нулевого порядка, то

$$\dot{x}' \neq \dot{x};$$

если же кривые имеют близость 1-го порядка, то

$$\dot{x}' = \dot{x}.$$

Исходя из этих двух форм полной вариации, имеем два возможных обобщения принципа Остроградского-Гамильтона:

$$\int_{t_0}^{t_1} \left\{ \Delta_1 T + m \dot{x} \cdot \dot{x}' \frac{d\Delta t}{dt} + \delta' A \right\} dt = 0;$$

$$\int_{t_0}^{t_1} \left\{ \Delta_2 T + \Delta' A + 2T \frac{d\Delta t}{dt} + \frac{dT}{dt} \Delta t - \frac{d'A}{dt} \Delta t \right\} dt = \int_{t_0}^{t_1} \left\{ X_v \Delta t - \frac{d}{dt} \left(m \cdot \dot{x} \cdot \Delta t \right) \right\} \lambda dt \quad (\text{где } \lambda = \dot{x}' - \dot{x}).$$

Если кривые имеют близость первого порядка, то $\lambda = 0$, и мы имеем:

$$\int \left\{ \Delta_1 T + m \cdot \dot{x} \cdot \dot{x}' \frac{d\Delta t}{dt} + \delta' A \right\} dt = 0, \quad (3)$$

$$\int \left\{ \Delta_2 T + \Delta' A + 2T \frac{d\Delta t}{dt} + \frac{dT}{dt} \Delta t \right\} = 0. \quad (4)$$

Таким образом, несмотря на то, что формы гельдеровской и фоссовской вариации различны, обобщения получаются одинаковыми, то есть из уравнения 3 вытекает уравнение 4.

Следует отметить существенное добавление русского ученого Колосова к "теории видоизменения" функции Раута, доказавшего, что теорема Лармора (или, что то же, принцип Лагранжа для случая, когда имеют место циклические координаты):

$$\delta \int R dt = 0 \quad (R\text{-функция Раута})$$

имеет место и тогда, когда импульсы P_x проистекают не из циклическости координат, а просто являются решениями уравнений Лагранжа.

При изучении вариационных принципов механики необходимо учесть большое значение работ Бобылева и Суслова (3 и 4) в развитии теории Вейерштрасса-Гильберта и приложении их к исследованию поля экстремалей для определения \min . действия. Бобылев первый показал для действия Остроградского-Гамильтона, что нет необходимости исследовать вторые вариации для решения вопроса о \min . действия, а достаточно рассмотреть поле экстремалей.

Гельмгольц в своей работе о физическом значении принципа наименьшего действия устанавливает принцип Остроградского-Гамильтона, а из него выводит соответствующие уравнения Лагранжа в предположении, что на систему действуют как консервативные, так и неконсервативные силы. Гельмгольц далее замечает, что прежде этот принцип действия применяли лишь к исследованию движений, подчиняющихся законам Ньютона, однако этим излишне его ограничивали. Вводя различные эквиваленты энергии, мы сможем применять этот принцип в электродинамике, термодинамике и т. д.

Особенно интересным для нашей темы в этом мемуаре Гельмгольца является рассмотрение — к каким именно силам могут быть применены уравнения Лагранжа, или, иначе, каким условиям должны удовлетворять уравнения движения, чтобы они могли быть сведены к форме лагранжевых уравнений и служить признаком обращения в нуль вариации действия.

Гельмгольц выводит эти условия, показывая их необходимость. Проф. Суслов доказал достаточность этих условий, чего не мог сделать Гельмгольц.

Далее следует показать, что действие Остроградского-Гамильтона имеет сильный экстремум, т. е. доказать следующую теорему:

"На действительном пути системы для любой точки $A(q^0_1, t_0)$ можно найти другую точку $B(q^1_1, t_1)$ такую, что действие

$$\int L dt$$

вдоль действительного пути принимает экстремальное значение по сравнению с участком окольного пути (близость которого нулевого порядка по отношению к действительному пути), имеющего одинаковые начальные и конечные точки".

Для доказательства достаточности условия мы исследовали функцию Вейерштрасса, т. е.

1) доказываем существование поля экстремалей;

2) доказываем, что функция Вейерштрасса имеет в этом случае вид

$$E = \frac{1}{2} \sum a_i (\ddot{\bar{q}}_i - \dot{\xi}_i)^2 \geq 0$$

для любого \bar{q}_i , так как a_i являются коэффициентами кинетической энергии, где $\dot{\xi}_i$ — скорость на действительной траектории \bar{q}_i , — наклон поля (tg угла наклона).

В предыдущем мы вывели обобщенную форму принципов действия, данную Гельдером, которая, как было доказано, является эквивалентной принципу Даламбера.

Поэтому и принцип Остроградского-Гамильтона и принцип наименьшего действия, поскольку они вытекают из принципа Гельдера, также эквивалентны принципу Даламбера.

Для случая неголономных систем, которые будут рассматриваться ниже, вопрос эквивалентности интегральных принципов принципу Даламбера необходимо рассмотреть гораздо глубже. Возникает вопрос, будут ли применимы или в какой форме могут быть применимы интегральные вариационные принципы и уравнения Лагранжа к движению системы, подчиненной неголономным связям. В наиболее общем случае неголономных систем эти уравнения были выведены впервые П. В. Воронцом в 1901 г.

Пока что мы здесь говорили лишь об уравнениях, родственных по типу уравнениям Лагранжа, т. е. не содержащих множителей связей, сводящихся к уравнениям Лагранжа, в предположении интегрируемости связей и, наконец, требующих для своего составления подсчета некоторых выражений, содержащих производные лишь первого порядка. Такая оговорка необходима, ибо значительно ранее упомянутых авторов уравнения Лагранжа с множителями связей употреблялись для случая неголономных связей уже Раутом и Фиркантом. Кроме того, была дана также новая общая форма уравнений движения (применимая как к голономным, так и к неголономным системам) Джуббом (1879 г.) и П. Аппелем (1899 г.). Уравнения Джубба-Аппеля могут быть выведены как из принципа Даламбера, так и из принципа Гаусса; ни с каким из интегральных вариационных принципов они не связаны и в силу этого не требуют для своего вывода никаких новых углублений в различии между голономными и неголономными связями сверх тех, которые были даны выше.

Отметим, наконец, возможность обобщения принципа Гаусса, которое позволяет рассматривать принцип наименьшего принуждения, как обобщенную форму закона инерции. Функция отклонения может быть представлена в следующем виде

$$\xi = \frac{\tau^2 m_v}{2} \left(\ddot{x}_v - 2 \frac{X_v}{m_v} \right) \ddot{x}_v$$

В такой форме принцип наименьшего принуждения установлен в 1940 г. доктором физико-математических наук, профессором Горьковского университета В. Ф. Котовым.

Принцип Котова является, в сущности говоря, обобщением формой закона инерции, поскольку здесь утверждается, что в указанной группе допустимых перемещений истинное движение наименьшим образом уклоняется от инерционного движения.

Следует показать исключительную роль С. А. Чаплыгина в исследовании неголономных систем, давшего для нескольких частного случая уравнения движения.

Мы показали, по Гельдеру, что принципы Остроградского-Гамильтона и Даламбера эквивалентны для голономных связей и что принцип Даламбера имеет место для неголономных связей. Поэтому ограничение принципа Остроградского-Гамильтона только для голономных связей является неестественным.

Недостатки уравнений Аппеля и метода Раута-Фирканта побудили впервые П. В. Воронца (1901 г.) обобщить уравнения Лагранжа и на случай неголономных систем, причем таким образом, что они требуют составления дифференциальных выражений лишь первого порядка (кинетической энергии и импульсов, соответствующих числу неголономных связей); во-вторых, в частном предположении голономности системы, эти уравнения обращаются в обычные уравнения Лагранжа.

Из уравнений Воронца проф. Суслов вывел принцип, называемый принципом Суслова-Воронца, имеющий вид:

$$\int_{t_1}^t \left(\delta T + \delta' A + \frac{\partial T}{\partial q_{s+p}} \delta \theta_p \right) dt = 0,$$

где

$$\delta \theta_p = \frac{d}{dt} \delta q_{s+p} - \dot{\delta q}_{s+p} \neq 0$$

в случае голономных связей $\delta \theta_p = 0$, и мы получаем из принципа Суслова обычный принцип Остроградского-Гамильтона.

Проф. Воронец вывел свои уравнения и в квазикоординатах, что в несколько иной форме было сделано позже Гамелем.

Подробному анализу указанных выше проблем мы посвятим особую статью.

ЛИТЕРАТУРА

1. Лагранж Ж. Л.—Аналитическая механика. ГОНТИ. 1938. 2. Остроградский М. В.—Мемуары С.-Петербургск. Акад. наук, серия VI, т. IV. 1848.
3. Бобылев Д. К.—О начале Гамильтона или Остроградского и о начале наименьшего действия Лагранжа, Прил. к т. LXI Зап. Ак. наук. 4. Суслов Г. К.—Основы аналитической механики. 1904.

А. Т. Григорян.

Механиканын вариасион принципләринин иикишәфы
наггызыда

ХҮЛӘСӘ

Мәғаләдә мүэллиф механика элминини вариасион принципләринин тәһлил әдир, буиларын ба’зи әсасларыны тамамлайыр вә аналитик механика принципләринин иикишәфында бөйүк рус алимләринин хидмәтини көстәрир.

Рус механикасы тарихи тәнгиди тәдгигатда чох зәиф көстәрілмешdir. Бу мәсәлә хүсусән, механиканың әсас принципләри саһесинде даһа айдын көзә чарпыш. Буна исә индики дөврдә неч дә йол вермек олмаз, чүнки назырда әлмләри марксизм нөгтейи-нәзәриә тәһлил этмәк вә дүниә әлмләринин инкишафында рус алимләринин ролуну об'ектив сурәтдә көстәрмәк гаршымызда дуран мүһүм мәсәләләрден биридир.

Бу мәгаләдә һәмин мәсәләләрни һәлли үчүн илк адым атылыр. Кәләчәк мәгаләдә бу мәсәләләр әтрафлы шәрһ олуначагды.

СТРОИТЕЛЬСТВО

М. Ю. АХУНДЗАДЕ

РАЦИОНАЛЬНЫЕ ФОРМЫ ПРОФИЛЕЙ ПОДПОРНЫХ СТЕН

(Представлено действ. членом АН Грузинской ССР
К. С. Заориевым)

В работе [1] нами дано решение задачи по определению безмоментной формы профилей подпорных стен для одного простейшего частного случая, когда стена подвергается только давлению горизонтально спланированного грунта с выпуклой стороны стены.

Настоящая работа ставит перед собой задачу определить наивыгоднейшую форму очертания профилей подпорных стен, подверженных давлениям сыпучих тел и жидкостей.

При отыскании рациональной формы профилей мы исходим из основного принципа безмоментности ее во всех сечениях при действии выбранной комбинации нагрузок. Для подпорной стены принята конструкция плотины проф. Ю. Я. Штаермана [2], при которой стена предполагается шарнирно-заделанной внизу и свободно опертой вверху.

Конструкция состоит из криволинейной стены, профиль которой очерчивается по безмоментной кривой, и полых стоек, поставленных на определенном расстоянии друг от друга. Таким образом, конструкция состоит из двух частей, одна из них работает на растяжение, а другая на сжатие. Следовательно, напряжения разделяются между элементами конструкции.

При определении формы профиля сыпучее тело рассматривается несвязанным, а поверхность его — горизонтально спланированной.

1. Любая нагрузка, действующая с выпуклой и с вогнутой стороны криволинейной стены, может быть разложена на горизонтальные и вертикальные составляющие

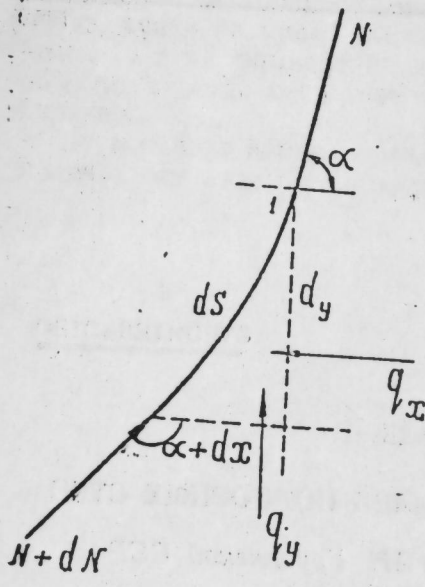
$$\left. \begin{array}{l} q_x = q_1 - q_2 \\ q_y = q_3 - q_4 \end{array} \right\} \quad (a)$$

где q_1, q_2 — интенсивности горизонтальных давлений;

q_3, q_4 — интенсивности вертикальных давлений.

При любом случае нагружения стены интенсивности давления будут являться функциями ординаты стены (y) и $\operatorname{ctg} \alpha$ угла наклона кривой к горизонту в данной точке ($\operatorname{ctg} \alpha$).

Вводя обозначение $\operatorname{ctg} \alpha = \frac{dx}{dy} = u$; имеем:



Фиг. 1

Дифференциальное уравнение безмоментной кривой получается из условия равновесия элемента стены (фиг. 1).

$$\begin{aligned} d(N \cos \alpha) &= q_x dy \\ d(N \sin \alpha) &= -q_y dx = -q_y u dy. \end{aligned}$$

Из последних уравнений с учетом (1,1) легко получается интеграло-дифференциальное уравнение кривой.

$$u = \frac{R_1 + f_y \cdot f_1(u) dy}{R_2 - f_y \cdot f_2(u) \cdot u dy} \quad (1,2)$$

Равенство (1,2) после двукратного дифференцирования по аргументу y принимает вид

$$\frac{u''}{u'} = \frac{1}{y} + \frac{f'_1 + u^2 f'_2 + 3u u' f_2}{f_1 + u^2 f_2} \quad (1,3)$$

При действии жидкости с вогнутой стороны криволинейной стены и грунта с выпуклой, и принимая рабочее допущение, что вертикальные давления жидкости и грунта взаимно уравновешиваются, функции интенсивности принимают следующий вид:

$$\left. \begin{aligned} f_1(u) &= \gamma - \delta \operatorname{tg}^2(45 - \varphi/2)(1 - \operatorname{tg} \varphi u)^2 \\ f_2(u) &= 0 \end{aligned} \right\} \quad (б)$$

где γ , δ — соответственно, объемные веса жидкости и грунта; $(1 - \operatorname{tg} \varphi u)^2$ — приближенное значение коэффициента интенсивности для наклонных стен [1]. Подставляя (б) в (1,3) и обозначая $\operatorname{tg}^2(45 - \varphi/2) = m^2$ и $\frac{\delta}{\gamma} = n^2$, решение (1,3) получается в виде

$$\frac{mn}{1 + mn} \operatorname{tg} \varphi \cdot u = 1 - \frac{2}{1 + e^{(\frac{y}{h})^2}} \quad (1,4)$$

При решении дифференциального уравнения (1,3) постоянные интегрирования определяются по граничным условиям:

$$\left. \begin{aligned} u &= 0 \text{ для } y = 0 \\ u &= \operatorname{ctg} \varphi \text{ для } y = h. \end{aligned} \right\} \quad (в)$$

Реакция в верхней опоре, т. е. анкерное усилие является величиной постоянной и равно

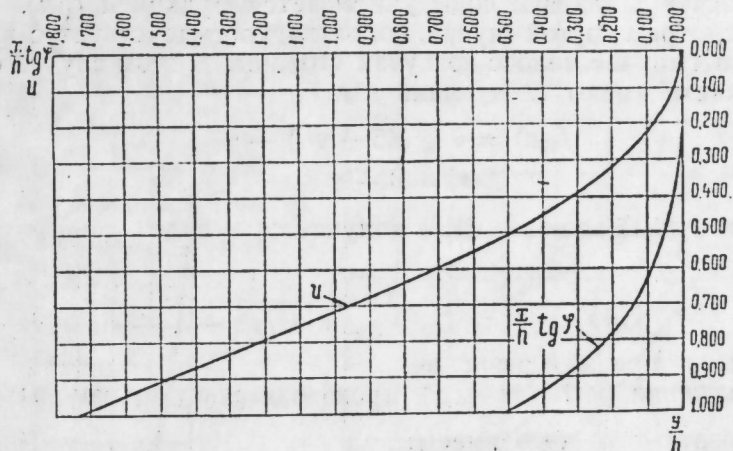
$$A = \frac{\gamma h^2}{2} \cdot \frac{mn \operatorname{tg} \varphi}{\ln \frac{1 + mn}{1 - mn}} \quad (1,5)$$

Горизонтальное давление на стенку определяется из условия равновесия стены

$$E = \frac{\gamma h^2}{2} \cdot \frac{mn}{\ln \frac{1 + mn}{1 - mn}} \quad (1,6)$$

Ввиду того, что выражение $\frac{1}{1 - e^{(y/h)^2}}$ интегрируется приближенно, то рекомендуем найти безмоментную кривую графическим методом по следующей схеме:

а) по заданным необходимым параметрам по (1,4) прокладывается кривая зависимости $\frac{y}{h}$ от u ;



Фиг. 2

б) прокладывается кривая зависимости $f_1(u)$;

в) по этим двум кривым подсчитывается и прокладывается кривая интенсивности горизонтального давления;

г) по кривым интенсивности, как грузовой площади, строится веревочный многоугольник; полусное расстояние надо подобрать в соответствии с граничными условиями;

д) в соответствии с многоугольником строится веревочная кривая.

В качестве примера даются результаты графического расчета (фиг. 2); по данным $\delta = 1,8 \frac{m}{m^3}$; $\gamma = 0,9 \frac{m}{m^3}$; $\varphi = 30^\circ$.

То обстоятельство, что реакция верхней опоры (анкерное усилие) постоянна для данной кривой, позволяет существенно упростить все расчеты путем введения понятия „эталонной кривой“, под которой подразумевается безмоментная кривая, удовлетворяющая граничным условиям (в). Поэтому любую стену с наклоном внизу, превышающим φ , следует рассматривать как отрезок эталонной кривой. Форма кривой получается путем простого увеличения масштаба отрезка эталонной кривой с распространением его на высоту рассматриваемой стены.

В целях решения задачи с учетом равномерно распределенной нагрузки необходимо положить в (1,3)

$$\begin{aligned} f_1(u) &= \gamma - \left[\delta \operatorname{tg}^2(45 - \varphi/2)(1 - \operatorname{tg} \varphi u)^2 \left(1 + \frac{h_1}{y} \right) \right] \\ f_2(u) &= 0 \end{aligned} \quad (1,7)$$

Учет влияния сосредоточенной силы, Q (вес всей надземной части), действующей непосредственно на стену в верхнем ее сечении в случае $Q \leq A$, где A —анкерное усилие при отсутствии силы Q , в расчет существенных изменений не вносит, только A —частично или полностью заменяется силой.

В случае же $Q > A$ часть силы Q заменяет реакцию, а остаток ($Q-A$) отклоняет кривую давления от безмоментной оси в сторону выпуклости кривой. Безмоментный профиль стены с учетом силы Q находится, исходя из нового значения анкерного усилия A , методом последовательного приближения.

При расчетах влияние воды учитывается функцией $f_1(u)$.

2. Рассмотрим другой случай, когда жидкость действует с выпуклой стороны, а сыпучее тело с вогнутой стороны. В этом случае функции интенсивности имеют следующий вид:

$$\begin{aligned} f_1(u) &= \delta \operatorname{tg}^2(45 - \varphi/2) - \gamma \\ f_2(u) &= \delta - \gamma \end{aligned} \quad (2,1)$$

С учетом (2,1) решение (1,3) получается в виде

$$\sqrt{\frac{\delta - \gamma}{\delta m^2 - \gamma}} \cdot u = \frac{1}{\sqrt{h^4/y^4 - 1}} \quad (2,2)$$

где m имеет прежнее значение.

Продолжение решения (2,2) производится путем замены u через $\frac{dx}{dy}$, в результате чего имеем:

$$\sqrt{\frac{\delta - \gamma}{\delta m^2 - \gamma}} \cdot \frac{x}{h} = 0,6 - \sqrt{2} [E(0, k) - 0,5F(0, k)] \quad (2,3)$$

где F и E —эллиптические интегралы первого и второго рода; k —параметр, связанный с u следующей зависимостью

$$\cos^4 u = \frac{1}{1 + \frac{\delta m^2 - \gamma}{(\delta - \gamma)u^2}} \quad (2,4)$$

$k = \sin 45^\circ$ —модуль эллиптических интегралов. Постоянные интегрирования определялись по граничным условиям, которые принимаются для эталонной кривой.

$$u = 0 \quad x = 0 \quad y = 0$$

$$u = \infty \quad y = h$$

Давления определяются равенствами:

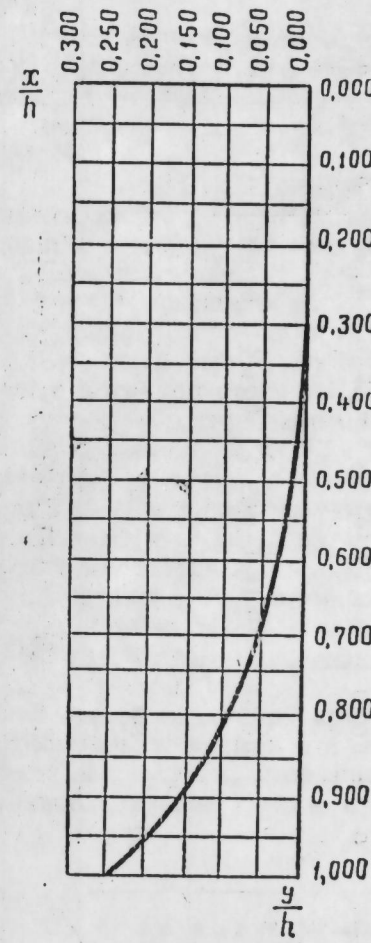
$$\left. \begin{aligned} \text{горизонтальное} - E_x &= \frac{1}{2} h^2 (\delta m^2 - \gamma) \\ \text{вертикальное} - E_y &= \frac{1}{2} h^2 \sqrt{(\delta m^2 - \gamma)(\delta - \gamma)} \end{aligned} \right\} \quad (2,5)$$

и анкерное усилие— $A = E_y$.

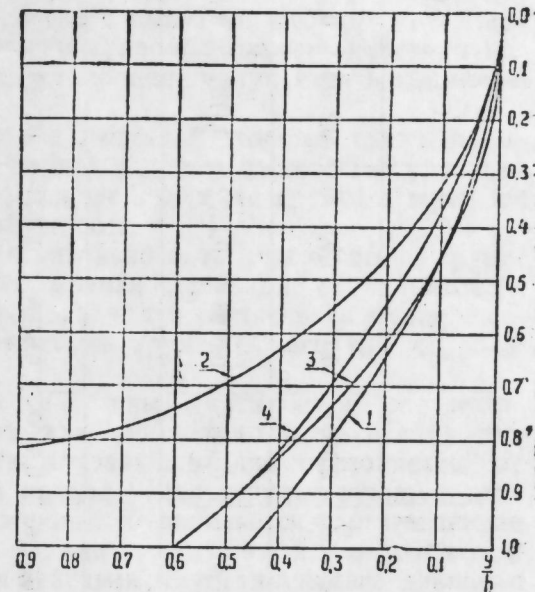
На фиг. 3 показана эталонная кривая, полученная в результате аналитического подсчета, произведенного по данным вышеприведенного примера, и в таблице 1—координаты этой кривой.

Таблица 1

$\frac{y}{h}$	0	0,179	0,352	0,515	0,662	0,789	0,892	0,968	1,0
$\frac{x}{h}$	0	0,001	0,009	0,025	0,055	0,079	0,151	0,214	0,255



Фиг. 3



Фиг. 4

$$1. 1 - \frac{2}{1 + e^{(\frac{y}{h})^2}}; \quad 2. \frac{1}{\sqrt{\frac{h^4}{y^4} - 1}}$$

$$3. 0,6 - \sqrt{2} [E(0, k) - 0,5F(0, k)]$$

$$4. \frac{h}{y} [0,6 - \sqrt{2} [E(0, k) - 0,5F(0, k)]]$$

В случае, когда с обеих сторон действуют сыпучие материалы, расчет аналогичен вышеприведенному методу. При этом параметры m , n имеют новые значения:

$$m = \frac{m_1}{m_2}; \quad n^2 = \frac{\delta_1}{\delta_2},$$

где индексы 1 и 2 относятся к отдельным сыпучим материалам. Для облегчения подсчетов составлены таблицы 2 и 3 и кривые (фиг. 4).

Таблица 2

$\frac{y}{h}$	0	0,1	0,2	0,3	0,4	0,5	0,6	0,7	0,8	0,9	1,0
$\frac{1}{\sqrt{\frac{h^4}{y^4} - 1}}$	0	0,0100	0,0400	0,0903	0,1621	0,2572	0,3694	0,5246	0,8361	4,4247	∞
$1 - \frac{2}{1 + e^{(y/h)}}$	0	0,0050	0,0200	0,0452	0,0798	0,1282	0,1781	0,2402	0,3095	0,4263	0,4621

Таблица 3

$\frac{y}{h}$	0	0,1736	0,3420	0,5000	0,6428	0,7071	0,7660	0,8660	0,9397	0,9846	1,0
$\Phi(0, \kappa)$	0	0,0029	0,0144	0,0433	0,0928	0,1361	0,1642	0,2546	0,3748	0,4775	0,6000
$\Phi(0, \kappa) \cdot \frac{h}{y}$	0	0,067	0,111	0,0866	0,1444	0,1824	0,2143	0,2810	0,3988	0,4849	0,6000
0°	90°	80°	70°	60°	50°	45°	40°	30°	20°	10°	0°

$\Phi(\theta) = 0,6 - 1/\sqrt{2} [E(0, \kappa) - 0,5 F(0, \kappa)]$

Выводы

1. Всякая безмоментная кривая соответствует определенной выбранной системе нагрузок, с изменением которой кривая давления отклоняется от оси стенки.

Если стена при давлении сыпучего тела с выпуклой стороны является безмоментной, то появлением жидкости или любого сыпучего тела с вогнутой стороны кривая отклоняется от первоначальной безмоментной оси стенки в сторону вогнутости кривой. И, наоборот, если стена безмоментна при давлении сыпучего тела с вогнутой стороны, то с появлением жидкости или любого сыпучего тела с выпуклой стороны кривая отклоняется от оси стенки к выпуклой стороне.

2. Под воздействием равномерно распределенной нагрузки по верху горизонтально спланированного грунта с выпуклой стороны ось стенки отклоняется в сторону вогнутости кривой; в случае действия той же нагрузки с вогнутой стороны — отклонение получается в выпуклую сторону.

3. При действии сыпучего тела с выпуклой стороны стены завышение угла внутреннего трения грунта φ влечет за собой отклонение кривой в сторону вогнутости ее; при действии же грунта с вогнутой стороны отклоняется к выпуклой стороне.

Если φ завышено против действительного, то, при действии грунта с выпуклой стороны, фактическая кривая давления отклоняется от оси стенки в выпуклую сторону (появляются растягивающие напряжения с вогнутой стороны). При действии грунта с вогнутой стороны получаем обратную картину.

4. Влияние собственного веса стены учитывается соответствующим изменением угла φ , при чем необходимо иметь в виду, что под действием собственного веса кривая давления отклоняется от оси стенки в сторону вогнутости кривой — если результирующее давление действует с выпуклой стороны, и появляется растягивающее напряжение с выпуклой стороны; для погашения их надо идти в сторону повышения угла φ . При действии результирующего давления с вогнутой стороны кривая давления отклоняется в сторону выпуклости кривой.

5. Метод эталонной кривой существенно упрощает расчеты и дает максимально возможные заложения стены при данной выбранной системе нагрузок, при увеличении которой нарушается совпадение кривой давления с осью стены.

ЛИТЕРАТУРА

- Ахунзаде М. Ю.—Безмоментные подпорные стени. „Известия Азерб. сельхоз. института им. Л. П. Берии”, издание АзСХИ, 1948, № 2 (12).
- Штадерман Ю. Я.—Плотина конструкции проф. Ю. Я. Штадермана—Сообщение научно-исследовательского ин-та сооружений и гидроэнергетики (ТНИСГЭИ). Тбилиси „Известия Груз. ин-та строит.”, вып. 1, 1946.
- Киселев В.—Рациональное очертание цилиндрических бункеров. Инженерный сборник АН СССР, т. I, вып. 1, 1941.
- Цитович Н. А.—Механика грунтов. Стройиздат Наркомстроя, 1940.
- Крей—Теория давления земли, 1932.
- Терцаги К.—Строительная механика грунтов, 1933.
- Проофьев И. П.—Давление сыпучих тел и расчет подпорных стен. 1947.

Азерб. Сельскохозяйственный
институт им. Л. П. Берии

Поступило 25.V.1949.

Истинад диварлары профилләринин расионал шәкилләри
ХҮЛЯСЭ

Мәгаләдә торнагын вә һәр һаңсы маени тәэйигинә мә'рүз галаң. Истинад диварларынын эн элверишли шәкилләриндән бәйс әдиллир. Профилин элверишли шәкли, онун бүтүн кәсикләриндә әйән моментин олмамасы шәрти әсасында ахтарылыр.

Мәсәләнниң һәллиндә торнаг, рабитәсиз вә сәтни үфүги гәбул әдиллир. Дивара габарыг вә чөкүк тәрәфиндән тә'сир әдән торнагын вә я маени үфүги вә шагули шиддәтләрниң әйрииниң үфүг илә тәшкүл этдийн бучагын котанкенсисиндән асылы олан мүәйянән функциянын диварын ординаты илә вурма һасили шәклиндә инфада әтдикдә, әйрииниң 3-чү тәртибдән дифференциал тәнилини алышыр. Бу тәплик айры-айры хүсуси һаллара тәтбиг олуниуб һәлл әдиллир. Мәгаләдә мәсәләнниң шиалитик һәллиндән башга графики һәлли дә көстәрилмишdir.

Мәсәләнниң "эталон әйриси" адланан әйри васитәсилә һәлли хәйли асанлашыр. "Эталон әйриси" юхарыда үфүг илә 90° вә ашагыда φ вә я 0° тәшкүл әдән моментенiz әйрийә дейиллir.

Бу үсула көрә диварын профилинә эталон әйрисинин бир һиссәсү кимни бахарал профили мүәйянән әдиллир. Нәзик диварларын ҳаричи гүнәйән гарышы һәссаслыгының нәзәрә алараг дахиلى сүртүнмә бучагыны мүәйянән әтмәк үчүн айрыча йоллар көстәрилмишdir.

Әсас үүкдән башта торнагын сәтниң тә'сир әдән мүнтәзәм яйылымыш үүкүн вә диварын үст кәсиинең дүшән гүнәйенниң тә'сиринде һесаба алынышдыр. Тәдгигат иәтичесиндә, инициат материялларына бойык гәнаәт әтмәйә имкән верәчәк элверишли профилләр алынышдыр.

ПАЛЕОЗООЛОГИЯ

Н. И. БУРЧАК-АБРАМОВИЧ

К ИЗУЧЕНИЮ КРУПНОГО РОГАТОГО СКОТА ДРЕВНЕГО
МИНГЕЧАУРА

(Представлено действ. членом АН Азербайджанской ССР
М. А. Топчибашевым)

Древние домашние животные Кавказа изучены еще очень слабо. Между тем детальное исследование остатков домашних животных, находимых археологами при раскопках, может представить глубокий интерес с разных точек зрения. Изучение костей древних домашних животных даст нам возможность судить не только о породах древних домашних животных, обычно являющихся более примитивными предками современных домашних животных, но и укажут нам пути их исторического развития и постепенного улучшения полезных особенностей под влиянием культуры человека. Последнее может оказаться полезным и для животноводов в их практических мероприятиях по улучшению современных пород домашних животных. Те или иные породы домашних животных в прошлом могли быть связаны с определенными народностями и известной культурной стадией их развития. Благодаря этому констатирование в культурных слоях некоторых пород домашних животных иногда может пролить свет на экономические связи между народами, пути заимствований, торговые способы и этапы географического расселения народностей.

Данная статья является первой попыткой изучения древних домашних животных из археологических раскопок в Мингечавре¹. Наши взят пока лишь небольшой скелетный материал по крупному рогатому скоту. К сожалению, отсутствие крааниологического материала, как известно, являющегося наиболее ценным для систематических выводов, заставляет нас быть весьма осторожными в обобщениях. Предварительно скажем несколько слов о современном крупном рогатом скоте Закавказья.

В настоящее время в горных частях Кавказа и Закавказской низменности распространен т. н. "горный кавказский скот", который еще в 1896 году Л. А. Калантаром (6) был разбит на две группы: 1) "Великокавказский крупный рогатый скот", населяющий Гл. Кавказский

¹ Археологические раскопки ведутся Музеем истории Азербайджана АН Азербайджанской ССР. За переданный для обработки материала выражают благодарность директору музея М. С. Казиеву и археологу Г. И. Ионе.

хребет и „Малокавказский“, разводимый в горах Малого Кавказа и Прикуринской низменности.

По данным животноводческого районирования проф. И. И. Калугина (5), в Мингечауре в настоящее время разводится малокавказская порода скота, но уже в Нухинском, северной части Геокчайского и Шемахинском районах проф. И. Калугин выделяет особое отродье малокавказского крупного рогатого скота, которое, по его мнению, является до некоторой степени метисным (влияние серого украинского скота молоканских селений и связи с районом обитания великолепного кавказского скота). Великолепная порода, в Азербайджане, по исследованию И. И. Калугина, разводится в Кубинском районе и в некоторых горных пунктах Закатальского района. Горный кавказский скот изучается главным образом по экстерьерным признакам. Азербайджанский рогатый скот (малокавказский, великолепный и зебу) обстоятельно исследован проф. И. И. Калугиным также и краниологически (5)—51 череп. Что же касается изучения всего скелета, то мы имеем только одну работу на грузинском языке Н. Иоселиани (14, 15), посвященную исследованию скелета хевсурского отряда великолепного крупного рогатого скота. О скелете современного малокавказского скота в литературе отсутствуют данные (кроме черепа).

Фиг. 1

Bos taurus brachyceros—мелкий (Древний Мингечаур). Правая метакарпальная кость: *a*—задняя поверхность; *b*—внутренняя (медиальная поверхность); *c*—верхняя (проксимальная); *d*—нижняя (дистальная)

1/2 нат. размера

скота отличается несколько меньшими размерами и некоторыми особенностями экстерьера. Так, высота в холке хевсурского отряда великолепного скота равна 96—100 см, абхазского и мингрельского—98, осетинского—103 (данные Ф. Лискуна), кубинского—110 (Кулагин). У малокавказского—112 (Азаров), 105—109 (Кулагин). Остеологические различия обоих отрядов не выяснены.

В нашем распоряжении имеется 5 метаподиальных костей¹ крупного рогатого скота из археологических раскопок Мингечаура, принадлежащих двум взрослым индивидуумам—одному очень мелкому и другому средних размеров¹. Оба экземпляра по величине своих

¹ Мелкий индивидуум—1 metacarpale dex. ad (правая пястная кость), 1 metatarsale dex. ad (правая плюсневая кость), 1 metatarsale sin. ad. (левая плюсневая кость). Средний по размеру индивидуум—1 metacarpale dex ad., 1 metatarsale dex. ad. без дистального конца. Погребение около VII—V в. в. до н. э. в культурах с вытянутыми kostnukami (17).

метаподий в общем укладываются в пределы колебания этих костей у короткого *Bos taurus brachyceros* Rüt. Более крупный индивидуум по размерам своих метаподиальных костей не превышает современного малокавказского крупного рогатого скота, и сейчас разводимый в этих же местах, тогда как мелкие метаподии по своей величине, форме и индексам пропорциональных отношений сближаются с наиболее мелкими представителями горного великолепного скота (см. таблицу измерений), будучи даже несколько более мелкого размера, чем последний.

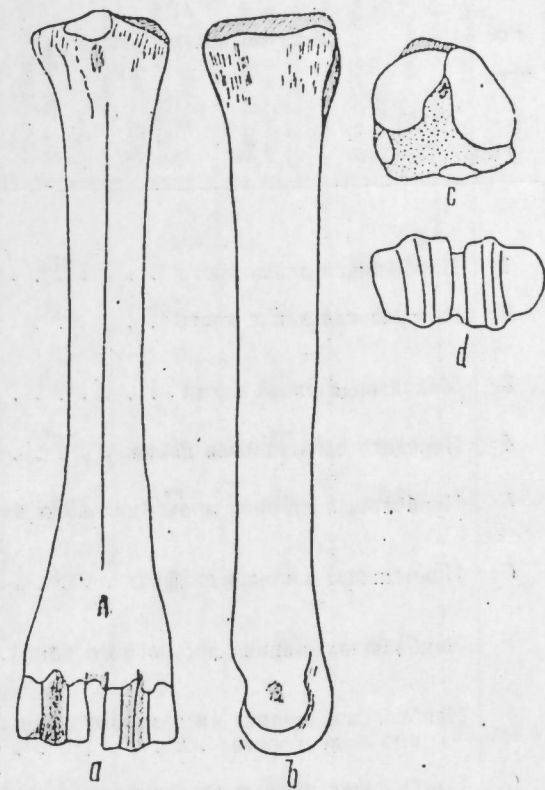
Так *Mtc¹* и *Mtt¹* мелкого мингечаурского *Bos taurus* (как это видно из таблиц 1 и 2) несколько уступают по размерам этим же костям современного хевсурского рогатого скота (Иоселиани), который вообще является одним из самых мелких отрядов горного великолепного скота. Древний торфяной скот свайных построек Западной Европы (Рютинейер, Штудер) также был крупнее, чем данный мелкий экземпляр Мингечаурского домашнего быка. Наиболее мелкие породы крупного рогатого скота, известные по материалам археологических раскопок из разных пунктов Союза, по размерам метаподиальных костей значительно превосходят данный экземпляр мелкого мингечаурского домашнего быка и более близки ко второму

и более крупному мингечаурскому быку (иногда больше, иногда нес

колько меньшего размера). Это относится, например, к *Bos taurus brachyceros* из славянских культурных слоев старой Рязани X—XIII в. в.

Проф. С. Н. Боголюбский, изучавший костные остатки Старой Рязани (2), считает крупный рогатый скот оттуда по величине близким к торфянику скоту и современному мещерской породе. В. И. Цалкин, продолживший изучение домашних животных Старой Рязани (19), согласен с отнесением крупного рогатого скота Старой Рязани к типу *Bos taurus brachyceros*, но считает его несколько крупнее современной мещерской породы. В. И. Громов (13), давая общую характеристику крупного рогатого скота славянских городищ VI—XII в. в. Белоруссии, относит его к мелкой, близкой к торфянику скоту, породе. Только в самых верхних культурных слоях появляется более крупная порода. Данные промеров костей в работе В. И. Громова отсутствуют.

¹ *Mtc* и *Mtt* сокращенные обозначения для *metacarpale* и *metatarsale*.



Фиг. 2

Bos taurus brachyceros мелкий. Правая метатарзальная кость. 1/2 нат. размера

Таблица 1

№ по пор.	Пястная кость, Metacarpale	<i>Bos taurus</i> мелкий Mic dex. ad. Минге- штуп		<i>Bos taurus</i> крупный Mic dex. ad. Минге- штуп		<i>Bos taurus</i> Каунчи- гата. Нижняя культура (по В. Громовой)		<i>Bos taurus</i> Каунчи- гата. Верхняя культура (по В. Громовой)		<i>Bos taurus brachyceros</i> (по Рютим. Дюрсту и др.)		<i>Bos taurus brachyceros</i> . Хансурский снот (по Носсельманн)		<i>Bos taurus primigenius</i> . Mic dex. ad. Триалети. Пакк. Кухтина		<i>Bos primigenius</i> . Mic sin. ad. № 376. Бина- гаш		<i>Bos taurus primigenius</i> украинский ♂ (по А. Браунеру)		<i>Bos taurus</i> Хевсурский снот. Mic dex. ad. Му- зей Грузии		<i>Bos taurus brachyceros</i> . Старая Рязань (по Цал- кину)		<i>Bos taurus brachyceros</i> . Борщев 1. (по В. Гро- мовой)		
		1	Наибольшая длина кости	166	191,5	195	—	201	—	178—190	—	159—168 (16,3)	—	214	—	226	236	225	232	—	167	—	174;188	—	—	
2	Латеральная длина кости	159	184,6	—	—	—	—	—	—	—	—	—	—	—	—	—	—	—	—	—	—	—	—	—	—	
3	Медиальная длина кости	160	183,2	—	—	—	—	—	—	—	—	—	—	—	—	—	—	—	—	—	—	—	—	—	—	
4	Передняя сагиттальная длина	165	191,5	—	—	—	—	—	—	—	—	—	—	—	—	—	—	—	—	—	—	—	—	—	—	
5	Наибольшая ширина проксимального эпифиза .	44,5	60	52—65	—	—	—	—	—	—	—	—	—	—	—	—	—	—	—	—	—	—	—	—	—	—
6	Наименьшая ширина диафиза	22,5	35	—	—	—	—	—	—	—	—	—	—	—	—	—	—	—	—	—	—	—	—	—	—	—
7	Наибольшая ширина дистального эпифиза . . .	44	61	49—70	—	—	—	—	—	—	—	—	—	—	—	—	—	—	—	—	—	—	—	—	—	—
8	Наибольшая ширина дистального конца сустав- ной поверхности	44	61	—	—	—	—	—	—	—	—	—	—	—	—	—	—	—	—	—	—	—	—	—	—	—
9	Наибольшая ширина дистального конца Mtc III .	21	30,7	—	—	—	—	—	—	—	—	—	—	—	—	—	—	—	—	—	—	—	—	—	—	—
10	Тоже Mtc IV	19	27,5	—	—	—	—	—	—	—	—	—	—	—	—	—	—	—	—	—	—	—	—	—	—	—
11	Наибольший передне-задний диаметр прокси- мального эпифиза	27,2	35,5	31—37	—	—	—	—	—	—	—	—	—	—	—	—	—	—	—	—	—	—	—	—	—	—
12	Передне-задний диаметр кости посередине длины ее в наиболее узком месте (см. пром. 6)	18,4	23,4	—	—	—	—	—	—	—	—	—	—	—	—	—	—	—	—	—	—	—	—	—	—	—
13	Передне-задний диаметр диафиза в наиболее тонком месте (дист. части диафиза)	16,5	23	—	—	—	—	—	—	—	—	—	—	—	—	—	—	—	—	—	—	—	—	—	—	—
14	Длина (вертик.)×ширину фаланг для Mtc V .	10×7,2	11×9	—	—	—	—	—	—	—	—	—	—	—	—	—	—	—	—	—	—	—	—	—	—	—
15	Индекс I: отношение ширины проксимального эпифиза (пром. 5) к латеральной длине (пром. 2)	28	32,4	—	—	—	—	—	—	—	—	—	—	—	—	—	—	—	—	—	—	—	—	—	—	—
16	Индекс II: отношение ширины дистального кон- ца (пром. 8) к латеральной длине (пром. 2)	27,6	32,9	—	—	—	—	—	—	—	—	—	—	—	—	—	—	—	—	—	—	—	—	—	—	—
17	Индекс III: отношение наименьшей ширины диафиза (пром. 6) к латеральной длине (пром. 2)	14,1	18,9	—	—	—	—	—	—	—	—	—	—	—	—	—	—	—	—	—	—	—	—	—	—	—

Таблица 2

№ по пор.	Плюсневая кость, Metatarsale	<i>Bos taurus</i> мелкий Mtt dех. ad. Минге- чаур	<i>Bos taurus</i> крупный Mtt sin. ad. Минге- чаур	<i>Bos taurus brachyceros</i> Каучи-тана. Нижняя кульптура (по В. Гро- мовой)	<i>Bos taurus brachyceros.</i> Каучи-тана. Верхняя кульптура (по В. Гро- мовой)	<i>Bos taurus brachyceros</i> (по Рютилеиеру, Шту- деру и др.)	<i>Bos taurus brachyceros</i> Хевсурский скот (по Носселланн)	<i>Bos taurus</i> фр. Mtt sin. semiad. Триалеги. Рак. Кухтина	<i>Bos taurus</i> . Mtt. dex. ad. Ст. Ганзка, XII век н. э.	<i>Bos taurus primigenius</i> украинский ♂ (по А. Браунеру)	<i>Bos primigenius</i> , Mtt. sin ad. № 316. Бина- града	<i>Bos taurus brachyceros</i> Страны Рязань (по Цалкину)	<i>Bos taurus</i> Борисов I (по В. Громовой)
1	Наибольшая длина кости	191,4				226	202—240				194	270	207
2	Латеральная длина кости	184,7				181—198 (187,4)				187	257		
3	Медиальная длина кости	180,6				44,8	41—44	43		181	254		
4	Передняя сагиттальная длина кости	188				54,8	47—49	39—46		188	264		
5	Ширина (мед.-лат.) проксимального эпифиза . . .	37,3	50	41—47		21—23		32	45,5	41	63	41;48	
6	Наименьшая ширина диафиза	19,8	31,2			42—46			62	22	35		
7	Наибольшая ширина дистального эпифиза . . .	44,3							44,5	75	47;51		
8	Наибольшая ширина дистального конца кости . . .	44,3		46—63					26	35			
9	Наибольшая ширина дистального конца Mtt III . . .	20,4							70	44,5			
10	Тоже Mtt IV	20,5								20,5	36		
11	Наибольший передне-задний диаметр прокси- мального эпифиза	37	45,5	40—48				26		40	61	37	
12	Передне-задний диаметр кости в наиболее уз- ком месте (см. пром. № 6)	22,2	32							22,5	35	40—46	
13	Передне-задний диаметр диафиза в наиболее тонком месте	20								20	37		
14	Длина и ширина фасетки для tarsale I	8×6	15×12							12×8	19×19		
15	Длина и ширина фасетки для tarsale III . . .	26×14	31×20							28×16	41×27		
16	Длина и ширина передней фасетки для tarsale IV—V	29×16,5	22×21							24×16	43×27		
17	Длина и ширина задней фасетки для tarsale IV—V (дорсо-плант.× мед.-лат.)	5,5×11	7×17							11×16	14×28		
18	Индекс I: отношение ширины проксимального эпифиза (пром. 5) к латеральной длине (пром. 2)	20,1				21,9					24,5		
19	Индекс II: отношение ширины дистального кон- ца (пром. 8) к латеральной длине (пром. 2)	24				23,9					28,8		
20	Индекс III: отношение наименьшей ширины диафиза (пром. 6) к латеральной длине (пром. 2)	10,7				11,5					13,6		

Крупный рогатый скот из раннеславянских городищ Воронежской области IX—X в. н. э., по данным В. И. Громовой (3), принадлежит к мелким короткорогим формам. По размеру фрагментов метаподиальных костей домашний бык древнего Воронежского края был значительно крупнее мелкого мингечаурского экземпляра, но более крупные экземпляры мингечаурского домашнего быка вполне укладываются в пределы колебаний размеров метаподий древнего воронежского домашнего быка.

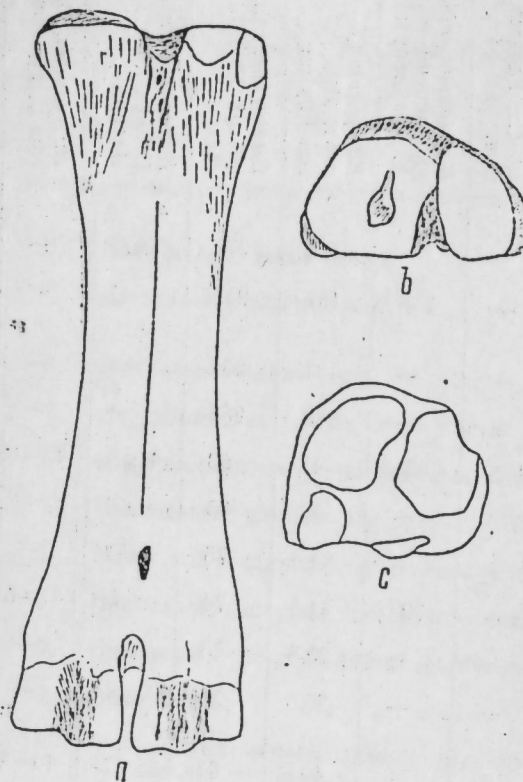
К относительно мелкому домашнему быку типа *Bos taurus brachyceros* относятся, по данным В. И. Громовой (4), и материалы из городища Каунча-тапа (возле Ташкента), датируемые 600—200 г. г. до н. э. По размерам Мтр он приближается к более крупным экземплярам мингечаурского домашнего быка. По размерам метаподиальных костей карликовый мингечаурский домашний бык может быть сближен с древним колхидским домашним быком из древнеколхидских культурных слоев.

Из предварительного изучения состава фауны этой древней культуры (материалы музея г. Зугдиди и музея Грузии) видно, что домашнему быку и домашней свинье среди кухонных остатков ее принадлежит первое место¹.

Древний колхидский домашний бык принадлежал к чрезвычайно мелкой породе, по своим размерам он приближается к мелкому мингечаурскому. К сожалению, у нас пока отсутствуют цифровые данные по измерению метаподиальных костей колхидского скота для того чтобы их сравнить с мингечаурскими. Было бы интересно сопоставить мингечаурского и колхидского домашнего быка с современными горными балканскими породами (например, иллирийской), также характеризующимися мелкими размерами. Метаподии карликового мингечаурского быка отличаются чрезвычайной стройностью и тонкостью. Об этом свидетельствуют индексы его пропорциональных отношений, по малой величине которых он превосходит все известные нам метаподиальные кости разных пород домашних быков (см. таблицы 1, 2).

Bos taurus brachyceros—среднего размера. Правая метакарпальная кость: а—задняя поверхность; б—выверхняя (проксимальная) поверхность; в—выверхняя поверхность правой метатарзальной кости.
1/2 nat. размера

¹ В составе колхидской фауны найдены домашний бык, лошадь и дикая свинья, домашний баран (или козел), олени, козуля, дельфин. Совершенно отсутствует лошадь (Музей г. Зугдиди). Раскопки селения Диха Тудзуба возле г. Анаклии конца неолита.



Фиг. 3

Ближе всего он стоит и в этом отношении к современному хевсурскому домашнему быку.

В противоположность этому у более крупного мингечаурского домашнего быка метаподии отличаются весьма значительной массивностью (шириной) и индексы его превосходят все имеющиеся в нашей измерительной таблице индексы метаподиальных костей разных других пород домашних быков.

Таким образом рассмотрение даже столь ограниченного материала (5 Мтр.) дает нам основание для выделения в стаде крупного рогатого скота древнего Мингечаура (VII—V. в. до н. э.) двух пород (?), резко различающихся между собою по величине и пропорциональным отношениям метаподиальных костей. Только более обширный и особенно краинологический материал позволит нам высказаться по этому поводу более определенно.

ЛИТЕРАТУРА

1. С. Г. Азаров—Крупный рогатый скот. 1943. 2. С. Н. Боголюбский—Палеофауна сельскохозяйственных животных Старой Рязани. Труды секции археологии РАННОН, т. IV. 1928. 3. В. И. Громова—Остатки млекопитающих из раннеславянских городищ вблизи г. Воронежа. Материалы и исследования по археологии СССР. 8. 1948. 4. В. И. Громова—Материалы к изучению древнейших домашних животных Средней Азии. АН СССР. Узбекистанский филиал. Ин-т истории, языка и литературы. 1940. Ташкент. 5. И. И. Калугин—Исследования современного состояния животноводства Азербайджана, том 2. Зебу и крупный рогатый скот. 1929. 6. Исследование современного состояния скотоводства в России. Рогатый скот. Вып. 3. И. А. Калантар. Кавказский край. Тифлис, 1896. 7. Ф. Лискун—Частное животноводство. 1934. 8. Г. Потапов—Караачаевский крупный рогатый скот в субальпийской зоне. Орджоникидзе. 1929. 9. Г. Потапов—Осетинский крупный рогатый скот в альпийской зоне. Орджоникидзе. 1928. 10. Г. Потапов—Черкесский крупный рогатый скот в луговостепной зоне. Изв. Уральской зоостанции, том 1, вып. 2. Орджоникидзе, 1927. 11. А. Тамамшев—Материалы по изучению крупного рогатого скота Грузии. Изв. Тифл. Гос. полит. ин-та, вып. 1. 12. В. И. Цалкин—Палеофауна Старой Рязани. Краткие сообщения Ин-та истории материальной культуры им. Н. Я. Марра, вып. XXI. 1947. 13. В. И. Громау—Аб фауна гарадзиц БССР і Смоленской губ. (Препы археолегічнай камісії Беларусі Акад. Навук. т. 11—1930. 14. Iosseliani N.—Kraniologisch Untersuchung über den Ichadelpus des georgischen Brachiceros—Rind. des (на груз. и нем. яз.). Бюл. Музея Грузии. т. III. 1926. 15. То же. Materialien zur osteologie des chevsuren—Rinder. (на груз.) Бюл. Муз. Грузии. т. IV. 1927. 16. Г. И. Ионе—Археологические раскопки в районе Мингечаургэстстра (сообщение 1). Две могилы грунтового погребения. Доклады АН Азерб. ССР, т. II № 6. 1946. 17. Г. И. Ионе—Археологические раскопки в Мингечауре. Некоторые данные о вопросе о датировке грунтовых погребений. Доклады АН Азерб. ССР, т. II, № 9. 18. С. М. Казиев—Об археологических раскопках в Мингечауре. Доклады АН СССР т. II, № 10, 1946. 19. С. М. Казиев—Археологические раскопки в Мингечауре. Материальная культура Азербайджана, т. 1. Музей истории Азербайджана АН Азерб. ССР. 1949. 20. С. М. Казиев—Археологические памятники в Мингечауре. Материал. культура Азербайджана, т. I. 1949.

Естественно-исторический музей
АН Азербайджанской ССР

Поступило 27.IX.1949.

Н. И. Бурчак-Абрамович

Гәдим Минкәчевирдә яшамыш гарамалларын өйрәнилмәсниң
даныр

ХҮЛАСӘ

Гәдим Минкәчевирдә яшамыш вә һейванларының зәмәнәмизээ гәдер-
галмыш сүмүкләриндән ики при гарамалын 5 метаподиал сүмүйү үзә-
риндә тәдг'игат апардыг. Оилардан бири өз бөйүклүүнә көрә вә айры-ай-
ры ниссәләри арасындакы иисбәтә көрә тох кичик бир һейван чинси-
нә аиддир. Бу һейван эңтимал ки, „Бөйүк Гафгазын дағ гарамаллары“
адланан һейванлардан бири имиш.

Икинчи һейваны хәйли ири олдугу мә'лум олур. О, өз гурулу-
шунан көрә „Кичик Гафгаз гарамаллары“ адланан һейванлара үйгүл-
кәлир.

Бу сүмүкләрин илк саһибләри һаггында мүәйянән иәтичәйә кәлмәк
үчүн гәдим Минкәчевирин гарамалларына даныр бир сырға ени матери-
аллар әлдә әдилмәлидир.

Р. К. АЛИЕВ и И. А. ДАМИРОВ

ПОЛУЧЕНИЕ НАРКОЗНОГО ЭФИРА ИЗ МЕСТНОГО СЫРЬЯ В АЗЕРБАЙДЖАНЕ

(Представлено действ. членом АН Азербайджанской ССР
М. А. Топчибашевым)

До войны Азербайджанские республиканские лечебные учрежде-
ния в плановом порядке снабжались всеми медикаментами, в том
числе и наркозным эфиром, из центральных промышленных городов.

В условиях войны возникла необходимость организации производ-
ства наркозного эфира в Азербайджане на базе местного сырья, в
количествах, могущих обеспечить потребности республики.

Вначале мы вели опыты изготовления эфира из местного сырья—
из винного спирта, выработанного в системе Азсоюхозстрата, и из сер-
ной кислоты бакинского завода по общепринятому методу. В пер-
вой стадии работы в лабораторных условиях мы получили технический
эфир с содержанием непредельных углеводородов и других при-
месей. Во второй стадии, используя полученный нами технический
эфир, мы на основании многочисленных опытов выработали наиболее
рациональную методику химической очистки и превращения его в
наркозный эфир. Таким образом, полученный нами наркозный эфир
из местного сырья вполне соответствовал требованиям Госфармакопеи
и явился основой для организации производства наркозного эфира в
Азербайджане в годы Великой Отечественной войны.

В дальнейшем в нашем распоряжении в качестве исходного сырья
был технический серный эфир, имевшийся на складах Азмедторга.

Анализ исходного сырья, проведенный нами в аналитической
лаборатории ГАПУ, показал наличие в данном эфире большого ко-
личества непредельных углеводородов в виде ванилового алкоголя,
перекиси этила и непредельных альдегидов, являющихся наиболее
опасной примесью для наркозного эфира.

Выработанная нами ранее методика легла в основу для очистки
этого сырья от указанных примесей с целью получения наркозного
эфира, соответствующего требованиям фармакопеи.

Мы проделали ряд опытов, используя для очистки эфира различ-
ные вещества, описанные в литературе.

Вначале мы произвели опыты обработки эфира металлическим натром, но в дальнейших опытах от этого отказались в связи с дефицитностью металлического натра, а также потому, что одной обработкой металлическим натром мы не освобождались полностью от имеющихся примесей.

В связи с этим мы поставили себе задачу найти более быстрый, дешевый и доступный метод очистки больших количеств технического эфира в наркозный.

После многочисленных опытов мы остановились на обработке эфира едкой щелочью и марганцево-кислым калием, причем мы установили, что лучшие результаты получаются при работах с растворами меньшей концентрации. При работах с 50%, 30%, 20%, 10% и 5% едким натром и 5% и 3% марганцево-кислым калием, наилучшие результаты мы получили с 5% едким натром и 3% марганцево-кислым калием (т. е. приблизительно с нормальными растворами), взятыми в соотношениях 10 мл едкого натра и 1 мл $KMnO_4$, указанных концентраций на 1,5—2 л эфира (в зависимости от степени его загрязненности).

Технический эфир помещался в склянку с нижним тубусом и промывался несколько раз водой от имеющихся кислот. Затем он взбалтывался со смесью $NaOH$ и $KMnO_4$ (операция повторялась несколько раз, пока при последнем добавлении цвет $KMnO_4$ сохранялся в течение нескольких минут).

Затем отделенный от смеси эфир повторно промывался дестиллированной водой, осушался с помощью гранулированного безводного хлористого кальция в оранжевых склянках в течение нескольких часов и подвергался перегонке в стеклянных колбах на водяной бане. Готовый продукт мы исследовали на предмет его соответствия требованиям фармакопеи.

Выработанный нами метод был перенесен в заводские условия и с конца 1941 по 1945 год выпускалось ежедневно несколько килограммов наркозного эфира.

При работе по нашему методу выход готового продукта оказался весьма удовлетворительным.

Выводы

1. Выработанная методика очистки технического эфира и превращение его в наркозный эфир является наиболее рациональной, упрощенной и доступной.
2. Наличие большого запаса исходного сырья позволяет организовать производство наркозного эфира в Азербайджане.

ЛИТЕРАТУРА

1. Кацельсон М. М.—Приготовление синтетических хим.-фарм. препаратов. Гостехиздат, Москва, 1923. 2. Вольпе М. Г. и Шультьев А. М.—Курс фармхимии. Медгиз, 1940. 3. Фармпрепараты—Справочник ОНТИ. Госхимтехиздат.

Р. К. Элиев вә И. А. Дамиров

Азәрбайчаның ерли хаммал нөвләриндән наркоз эфири алынmasы

ХУЛАСӘ

Мүәллифләр Бөйүк Вәтән мүһарибәси дөврүндә Азәрбайчаның ерли хаммал нөвләриндән истифадә әдіб бир сыра гиймәтли дәрман маддәләри истеңсал этмәйә башламышдылар. Онлардан бири дә наркоз эфири иди.

1941-чи илдән башланыраг Азәрбайчанда чох садә вә әлеверишли үсулла истеңсал әдилән наркоз эфири мүһарибә дөврүндә республиканын тибб мүәссисәләринин тәләбини бол-бол тә'мин этмишdir.

Эфир наркозу истеңсал этмәк учун мүәллифләр әvvәlchә Азсовхоз-трестин Ыазырладығы шәраб спиртиндән вә Фрунзе заводунун сульфаттуршусундан истифадә әдир вә алынан техники эфири кимйәви үсулла тәмизләйib наркоз эфириң чевирирдиләр. Сонralар исә, техники эфирдән Нафталан заводу системиндә наркоз эфири истеңсалы тәшкил әдилди. Беләликлә күлли мигдарда наркоз эфири истеңсал этмәк мүмкүн олду. Ерли хаммал мәнбәләринин әтрафлы өйрәнилмәси онлардан халг тәсәррүфатында даňа кениш истифадә әдилмәсинә имкан ярадар.

СОДЕРЖАНИЕ

Технология нефти

М. Ф. Нагиев—Кинетика гомогенных химических реакций, протекающих с изменением объема в аппарате идеального смешения 387

Нефтепромысловое дело

М. П. Гулизаде и И. П. Кулев—Влияние момента от действия осевой нагрузки на изменение азимута искривления турбинно-наклонных скважин 391

Геохимия

Д. И. Зульфугарлы—К изучению микроэлементов нефти месторождений Балаханы, Сабунчи, Рамана 397

Механика

А. Т. Григорьян—О развитии вариационных принципов механики . 403

Строительство

М. Ю. Ахундзаде—Рациональные формы профилей подпорных стен 411

Палеозоология

Н. И. Бурчак-Абрамович—К изучению крупного рогатого скота древнего Мингечаура 419

Фармацевтическая химия

Р. К. Алиев и И. А. Дамиров—Получение наркозного эфира из местного сырья в Азербайджане 429

РЕДАКЦИОННАЯ КОЛЛЕГИЯ

Подписано к печати 17/XII 1949 г. Печ. листов 3. Уч.-авт. листов 5.
ФГ 17286. Заказ № 995. Тираж 600.

Управление по делам полиграфии, изательства и книжной торговли
при Совете Министров Азербайджанской ССР.
Типография „Красный Восток“. Баку, ул. Ази Асланова, 60.

Азәрбайҹан ССР Элмләр Академиясы журналларына
1950-чи ил үчүн
абунә гәбул олуңур

„АЗӘРБАЙЧАН ССР ЭЛМЛӘР АКАДЕМИЯСЫНЫН ХӘБӘРЛӘРИ“

Илдә 12 нөмәр чыхыр.

Иллик абунә гиймәти 96 манат
Төк нүсхәсинин гиймәти 8 манатдыр.

„АЗӘРБАЙЧАН ССР ЭД МӘРÜЗӘЛӘРИ“

Илдә 12 нөмәр чыхыр.

Иллик абунә гиймәти 48 манат
Төк нүсхәсинин гиймәти 4 манатдыр.

Абунә „Союзпечаты“ Бакы ше'бәсиндә (Бакы,
Сталин күчәси, 103) вә башга ше'бәләриндә
гәбул олуңур.

Принимается подписка на 1950 год на журналы
Академии наук Азербайджанской ССР

„ИЗВЕСТИЯ АКАДЕМИИ НАУК АЗЕРБАЙДЖАНСКОЙ ССР“

12 номеров в год

Подписная цена 96 руб.
Цена отдельного номера . . . 8 руб.

„ДОКЛАДЫ АКАДЕМИИ НАУК АЗЕРБАЙДЖАНСКОЙ ССР“

12 номеров в год

Подписная цена 48 руб.
Цена отдельного номера . . . 4 руб.

Подписка принимается Бакинским отделением „Союзпечати“,
Баку, пр. Сталина, 103
и другими отделениями „Союзпечати“

4 руб.